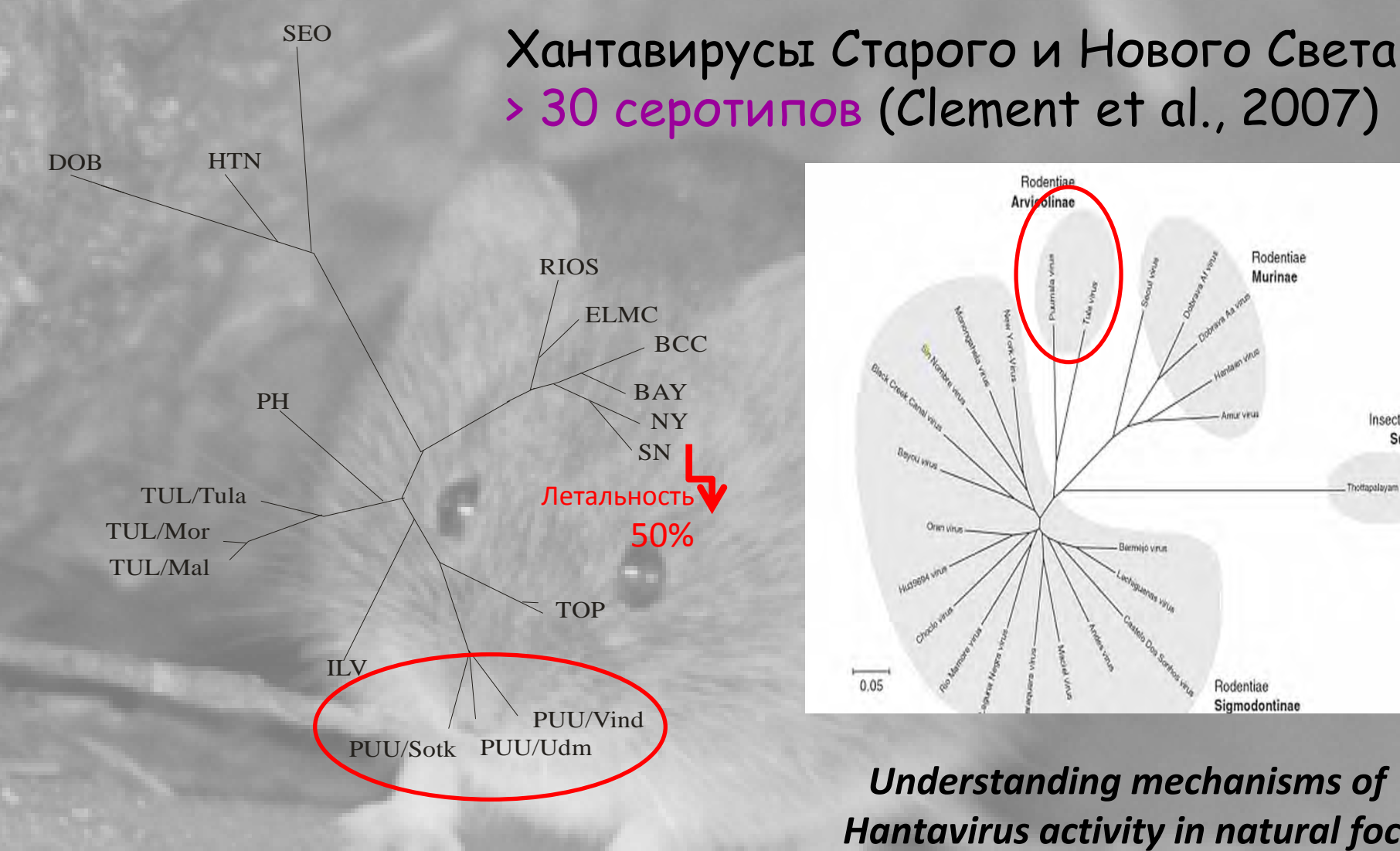
## СТАТИСТИЧЕСКОЕ МОДЕЛИРОВАНИЕ АКТИВНОСТИ ОЧАГА ПУУМАЛА ХАНТАВИРУСНОЙ ИНФЕКЦИИ

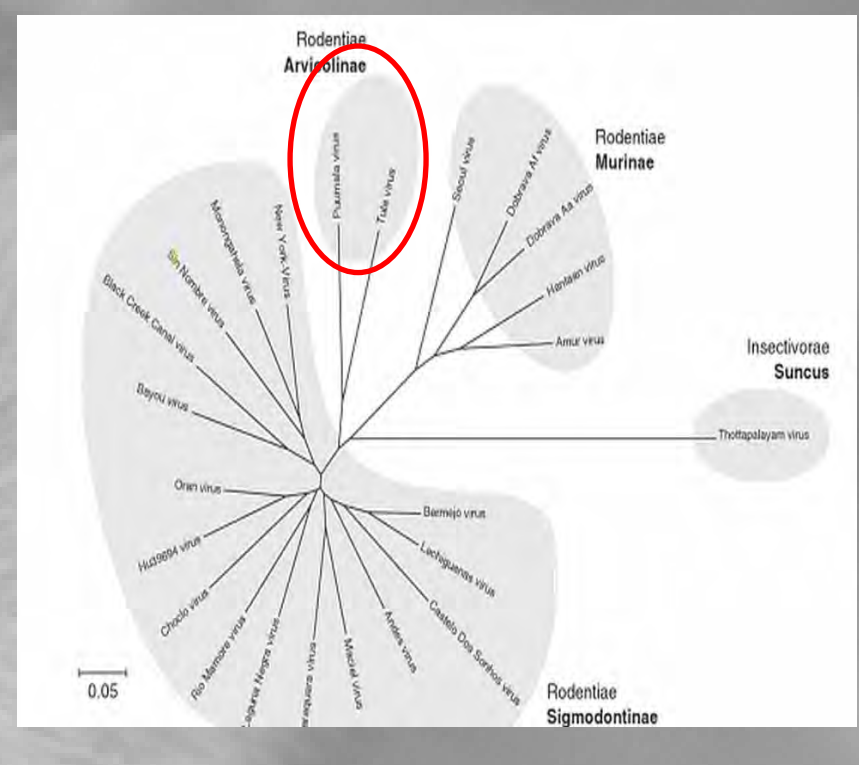
# STATISTICAL MODELLING OF PUUMALA HANTAVIRUS RESERVOIR ACTIVITY

**Кшнясев Иван Александрович** (1), Бернштейн А.Д.(2),

(1) ИЭРиЖ УрОРАН, Екатеринбург; (2) ИПиВЭ им. М.П. Чумакова, РАМН, Москва;



PUU/Sotk - Финляндия; PUU/Udm – Удмуртия; PUU/Vind – Швеция



Understanding mechanisms of Hantavirus activity in natural foci and predictions of HFRS epidemic outbreaks in humans are actual problems of epidemiology and medical theriology.

#### Hantavirus

Table 1: Selected hantaviruses and their major rodent hosts

'irus	Rodent Host(s)
mur	Apodemus peninsulae
ndes	Oligoryzomys longicaudatus (long-tailed pygmy rice rat)
aguna Negra Andes virus variant)	Calomys laucha (no common name)
echiguanas Andes virus variant)	Oligoryzomys flavescens (yellow pygmy rice rat)
ran Andes virus variant)	Oligoryzomys longicaudatus (long-tailed colilargo)
o Mamore Indes virus variant)	Oligoryzomys microtis (small-eared pygmy rice rat)
raraquara virus	Bolomys lasiurus (no common name)
sh River	Sorex cinereus (masked shrew)
ayou	Oryzomys palustris (rice rat)
ack Creek Canal	Sigmodon hispidus (cotton rat)
oodland Lake	Microtus ochrogaster (prairie vole)
amp Ripley	Blarina brevicauda (northern short-tailed shrew)
hoclo	Oligoryzomys fulvescens (fulvous pygmy rice rat)
obrava	Apodemus flavicollis (yellow-necked field mouse)
Moro Canyon	Reithrodontomys megalotis (Western harvest mouse)
lantaan	Apodemus agrarius (striped field mouse)
u39694	Oligoryzomys flavescens (?) (yellow pygmy rice rat)
la Vista	Microtus californicus (California vole)
mez Springs	Sorex monticolus (dusky shrew )
iquitiba	Oligoryzomys nigripes (black-footed pygmy rice rat)
nabarovsk	Microtus fortis (reed vole)
uleshoe	Sigmodon hispidus (cotton rat)
rospect Hill	Microtus pennsylvanicus (meadow vole)
ıumala	Myodes glareolus (bank vole)

### Серотипы XB в России

Virus	Rodent Host(s)			
Rio Segundo	Reithrodontomys mexicanus (Mexican harvest mouse)			
Saaremaa (or DOBV-Aa)	Apodemus agrarius (striped field mouse)			
Seewis	Sorex araneus (Eurasian common shrew)			
Seoul	Rattus norvegicus (Norway rat); Rattus rattus (black rat)			
Sin Nombre	Peromyscus maniculatus (deer mouse)			
Monongahela (Sin Nombre virus variant)	Peromyscus maniculatus (deer mouse)			
New York (Sin Nombre virus variant)	Peromyscus maniculatus (deer mouse); P. leucopus (white-footed mouse)			
Soochong	Apodemus peninsulae (no common name)			
Tanganya	Crocidura theresae (Therese shrew)			
Thailand	Bandicota indica (bandicoot rat)			
Thottapalayam	Suncus murinus (musk shrew)			
Topografov	Lemmus sibiricus (Siberian lemming)			
Tula	Microtus arvalis (European common vole)			

#### **Internet Resources**

Centers for Disease Control and Prevention (CDC). Rodent Control.

http://www.cdc.gov/rodents/

CDC. All About Hantavirus. Technical Information Index. http://www.cdc.gov/ncidod/diseases/hanta/hps/noframes/phys/technicalinfoindex.htm

Public Health Agency of Canada. Material Safety Data Sheets

http://www.phac-aspc.gc.ca/msds-ftss/index.html

Medical Microbiology

http://www.gsbs.utmb.edu/microbook

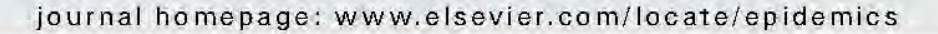
The Merck Manual

98 CFSPH page 5 of 8



Contents lists available at ScienceDirect

#### **Epidemics**





#### Cyclic hantavirus epidemics in humans — Predicted by rodent host dynamics

Eva R. Kallio <sup>a,\*,1</sup>, Michael Begon <sup>a</sup>, Heikki Henttonen <sup>b</sup>, Esa Koskela <sup>c</sup>, Tapio Mappes <sup>d</sup>, Antti Vaheri <sup>e</sup>, Olli Vapalahti <sup>e,f</sup>

<sup>&</sup>lt;sup>a</sup> School of Biological Sciences, University of Liverpool, Liverpool L69 7ZB, UK

<sup>&</sup>lt;sup>b</sup> Finnish Forest Research Institute, Vantaa Research Unit, POB 18, FI-01301 Vantaa, Finland

<sup>&</sup>lt;sup>c</sup> Department of Biological and Environmental Science, P.O. Box 35, FI-40014, University of Jyväskylä, Finland

<sup>&</sup>lt;sup>d</sup> Department of Biological and Environmental Science, Centre of Excellence in Evolutionary Research, P.O. Box 35, FI-40014 University of Jyväskylä, Finland

<sup>&</sup>lt;sup>e</sup> Department of Virology, Haartman Institute, P.O. Box 21, FI-00014 University of Helsinki, Finland

<sup>&</sup>lt;sup>1</sup> Department of Basic Veterinary Sciences, P.O. Box 66, FI-00014 University of Helsinki, Finland

#### ABSTRACT

Wildlife-originated zoonotic diseases are a major contributor to emerging infectious diseases. Hantaviruses cause thousands of human disease cases annually worldwide, and understanding and predicting human hantavirus epidemics still poses unsolved challenges. Here we studied the three-level relationships between the human disease nephropathia epidemica (NE), its etiological agent Puumala hantavirus (PUUV) and the rodent host of the virus, the bank vole (*Myodes glareolus*). A large and long-term data set (14 years, 2583 human NE cases and 4751 trapped bank voles) indicates that the number of human infections shows both seasonal and multi-annual fluctuations, is influenced by the phase of vole cycle and time of the year, and follows vole abundance with a lag of a few months. Our results suggest that although human hantavirus epidemics are preceded by high sero prevalence in the host population, they may be accurately predicted solely by the population dynamics of the carrier species, even without any knowledge about hantavirus dynamics in the host populations.

© 2009 Elsevier Inc. All rights reserved.

## Задачи

- •Предсказание активности очага и заболеваемости ГЛПС по динамике хозяина XB
- Поиск лучших (более точных и заблаговременных) предикторов

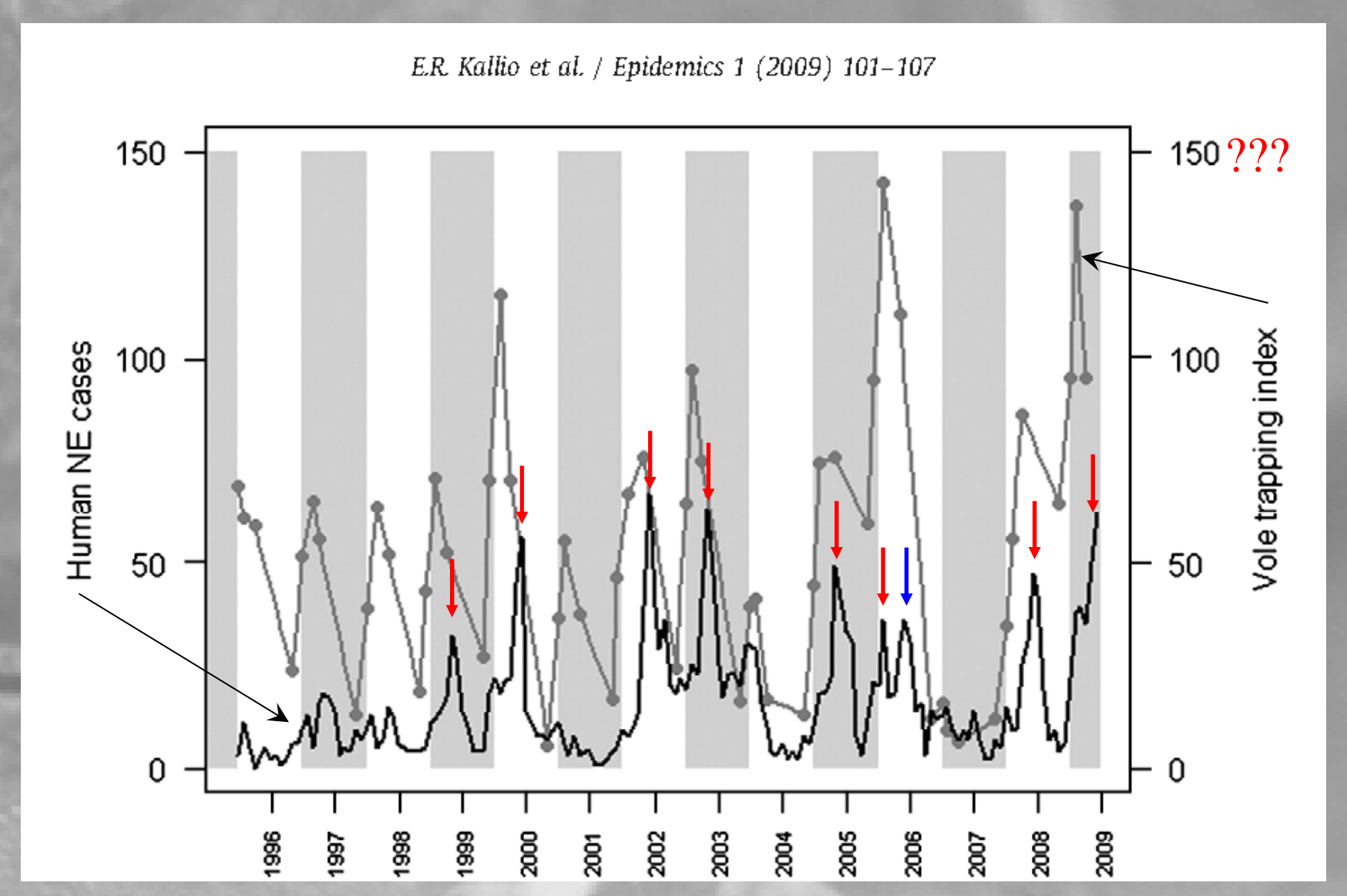


Fig. 2. Monthly numbers of human NE cases in **Central Finland** (black line) and the density index of bank voles (grey line) at Konnevesi in 1995–2008 (vole trapping index=captured individuals/100 trap nights, monthly data are interpolated from the trappings carried out four times per year, trappings are indicated with dots). Biological years (see Materials and methods) are marked with open and shaded bars.

## Методы

### Отловы:

Линии ловушек
4 раза в год
весна – май,
лето –июнь и август,
осень – октябрь
1973 - 2010 гг.
38 лет

> 12 тыс. лов-суток

- Каждая особь: вид, пол, возраст, репродуктивный статус;

- Особей с вирусным антигеном в лёгких выявляли иммуноферментным методом (Бернштейн и др., 2010)

- Всего за 38 (40) лет в <u>УР</u> зарегистрировано более 23.5 (24.6) тысяч случаев ГЛПС
- -Урожай липы шкала Каппера (0-5)

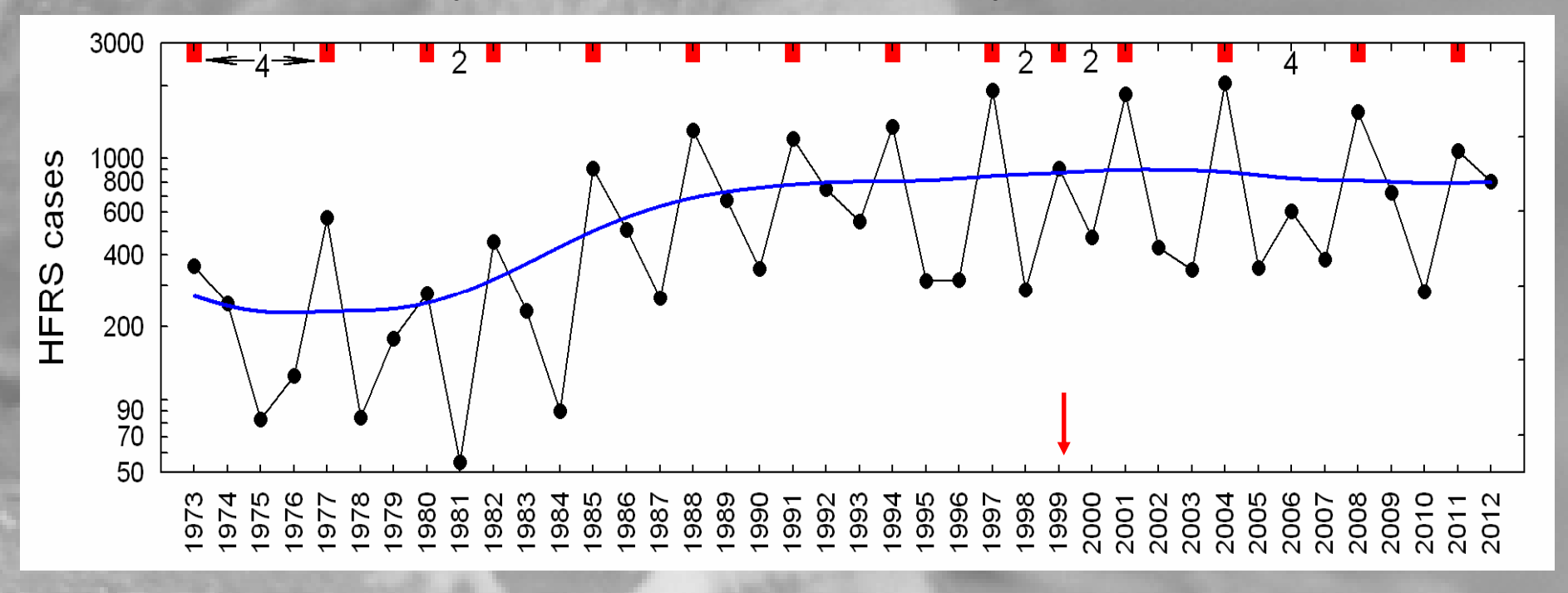
> 7 тыс. РП

## Статистический анализ

- · GLM,
- анализ временных рядов (автокорреляционный, спектральный, вейвлет анализ)

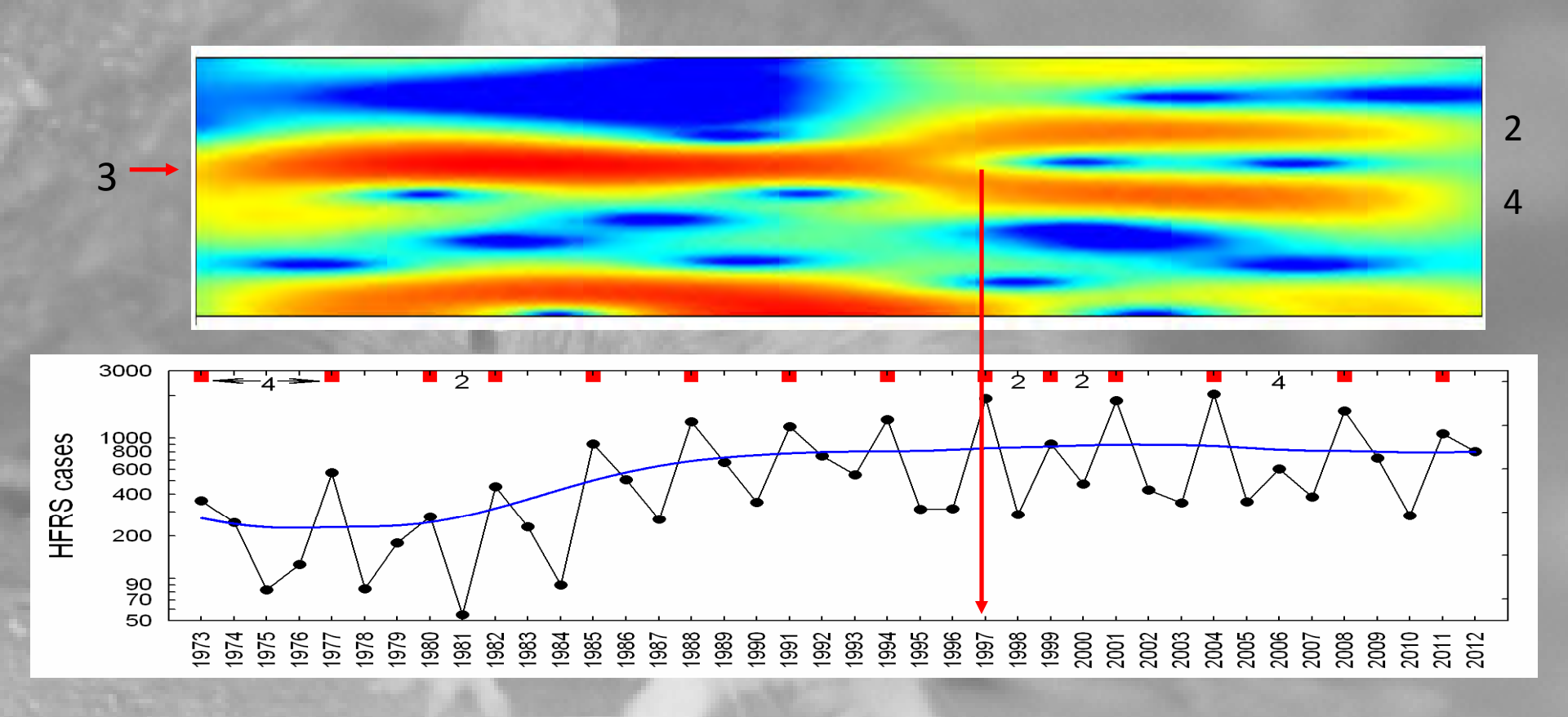
# Число случаев (лог-масштаб) заболевания ГЛПС в Удмуртской республике, за эпидсезоны 1973-2012 гг., от 55 до 2053 случаев.

Столбики сверху – раннее начало репродукции рыжей полевки.



Покальные максимумы, значения, большие, чем таковые в предшествующем и последующем году и/или большие, чем скользящее среднее (жирная линия) м.б. рассмотрены как т.н. «вспышки» (0, 1).

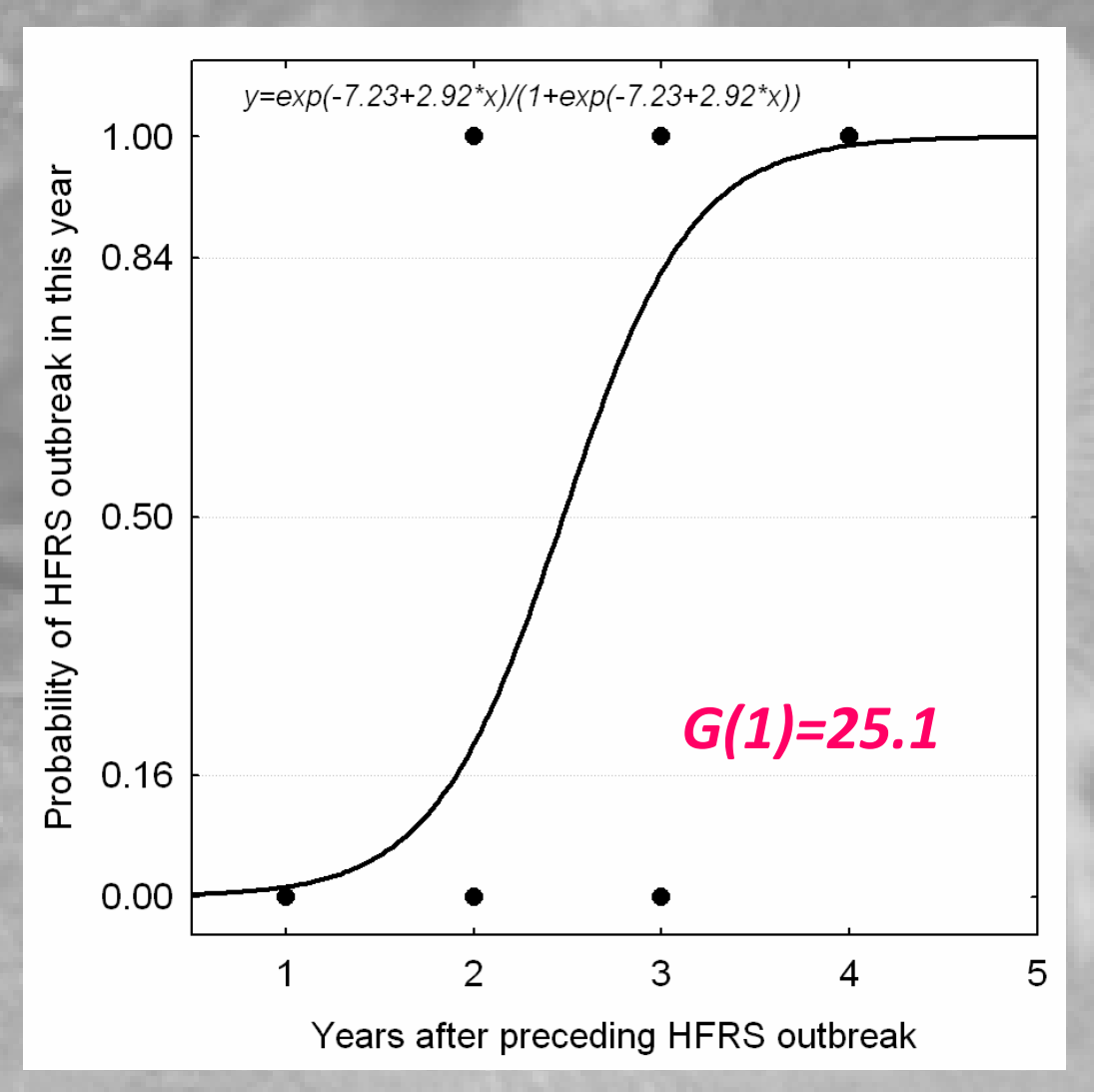
# Спектр (оконное преобразование Фурье) лог-числа случаев ГЛПС



Число случаев (лог-масштаб) заболевания ГЛПС в Удмуртской республике, за эпидсезоны 1973-2012 гг., от 55 до 2053 случаев.

# Феноменологическое прогнозирование вероятности вспышки: эпидемии ГЛПС

(зимнего размножения и PUUV-эпизоотиии у C. glareolus)

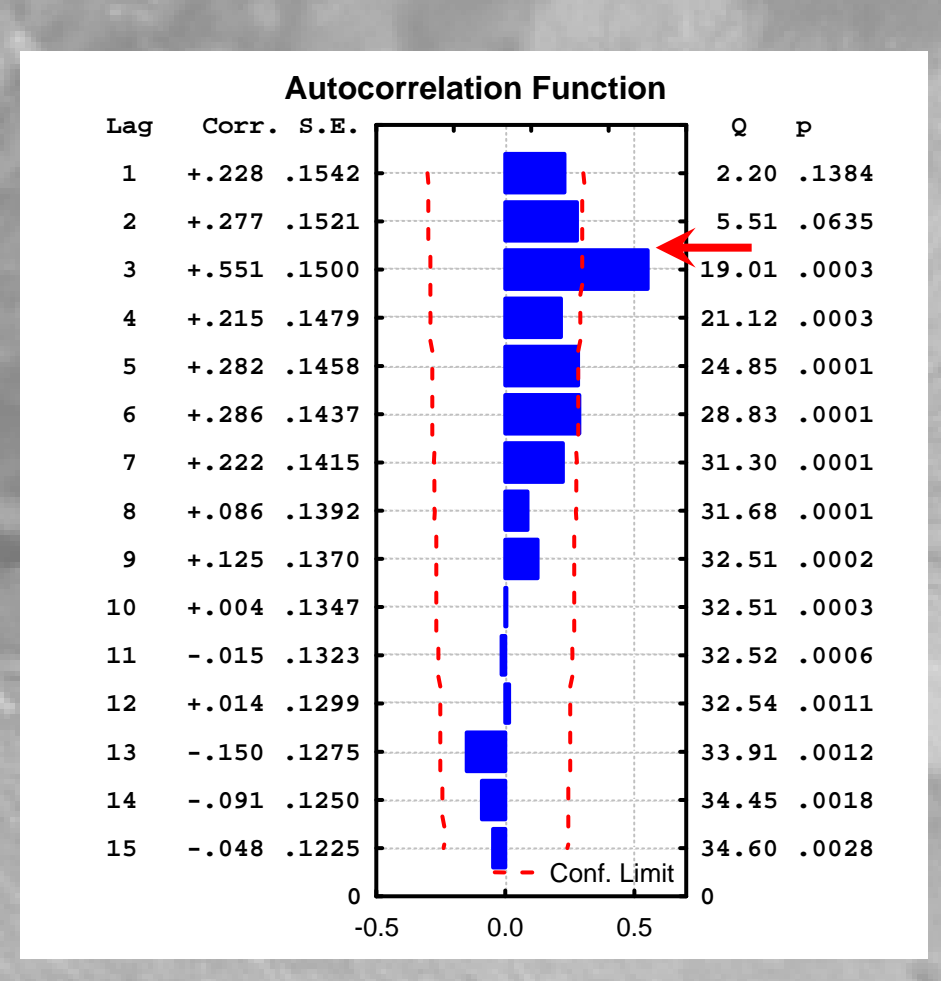


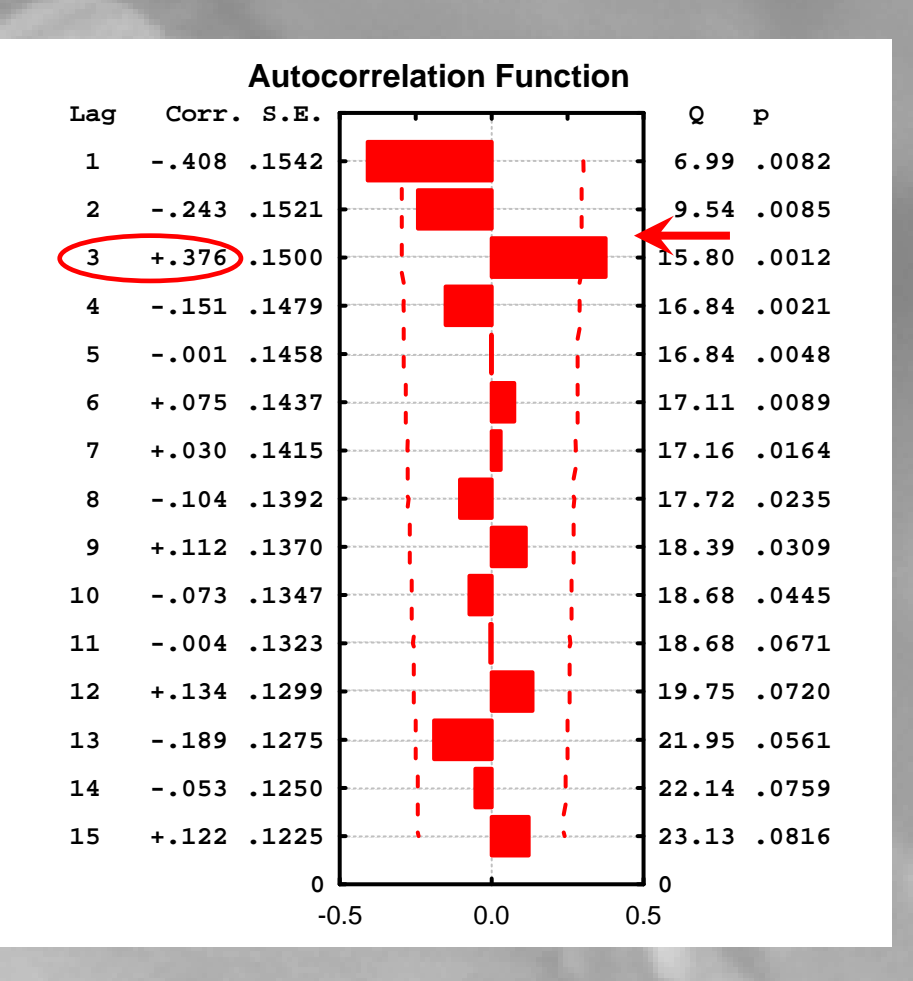
Предиктор — число лет после предшествующей вспышки. Логит регрессия.

Модели для ГЛПС и зимнего размножения идентичны!!!

### Автокоррелограмма ряда ГЛПС

# Наиболее мощная компонента динамики ГЛПС - 3x летний цикл (ритм)



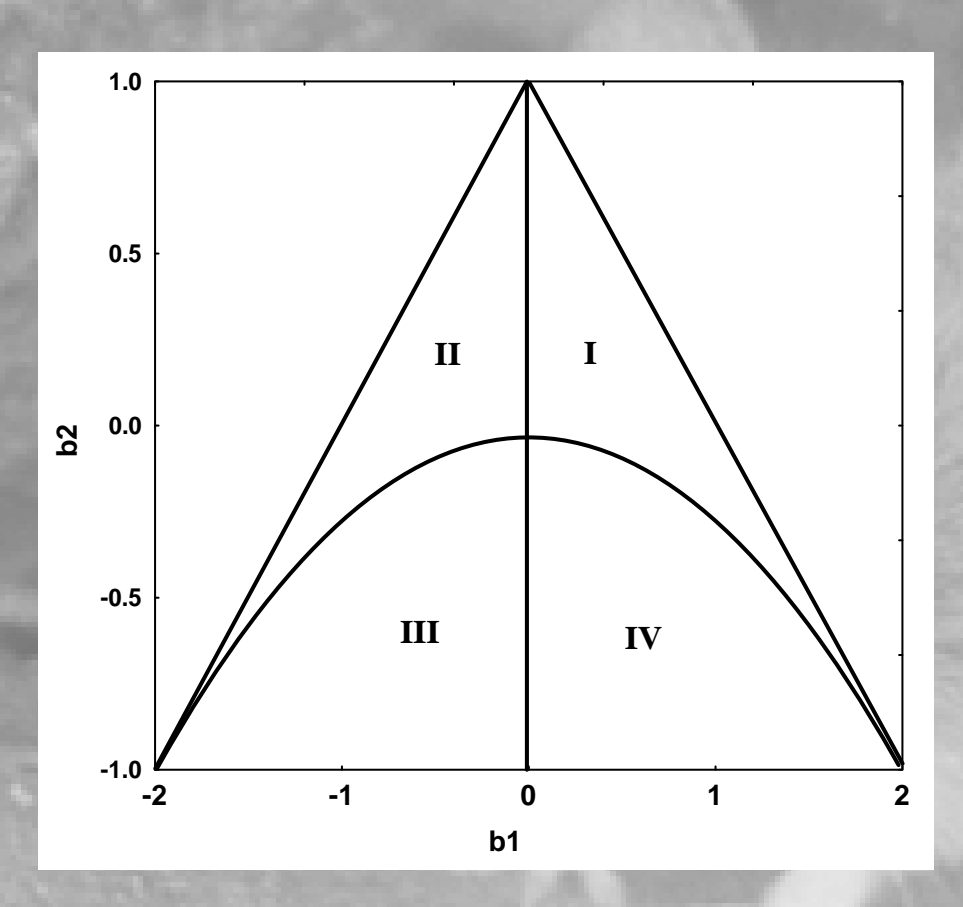


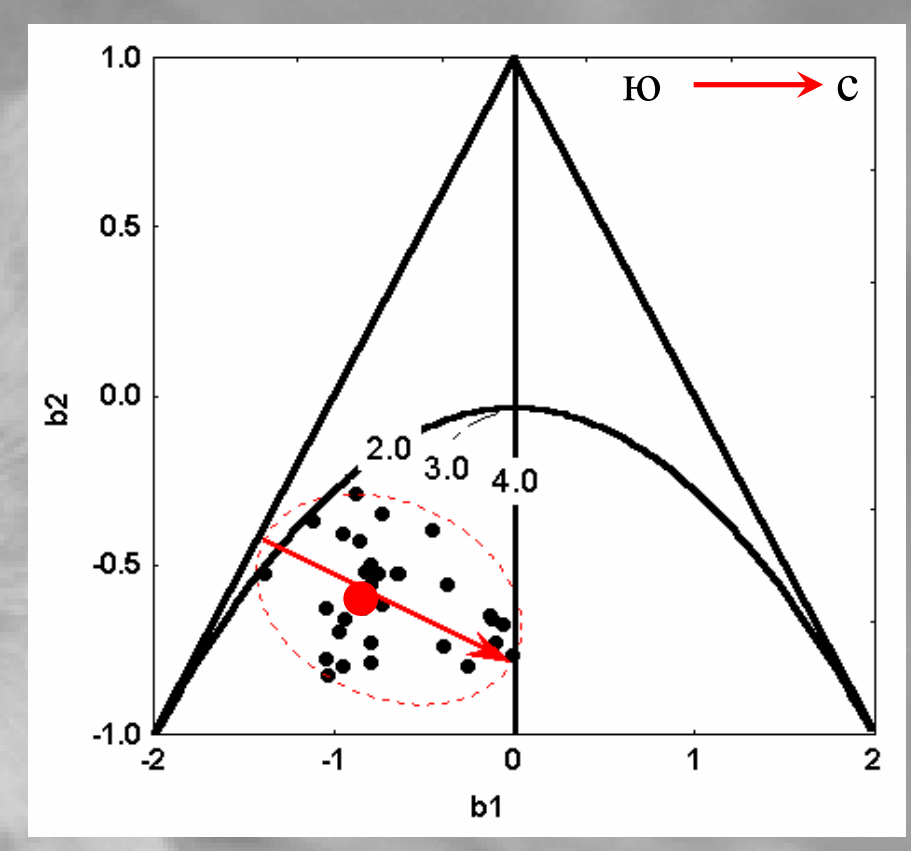
Исходный

Тренд удален

Пространство параметров и характер динамики, AR2 (Royama, 1992 Bjornstad et al., 1995).

$$\Delta(t) = \log X(t) - \log X(t-1) = \beta_0 + \beta_1 \Delta(t-1) + \beta_2 \Delta(t-2) + \sum \beta i Z + e(t)$$





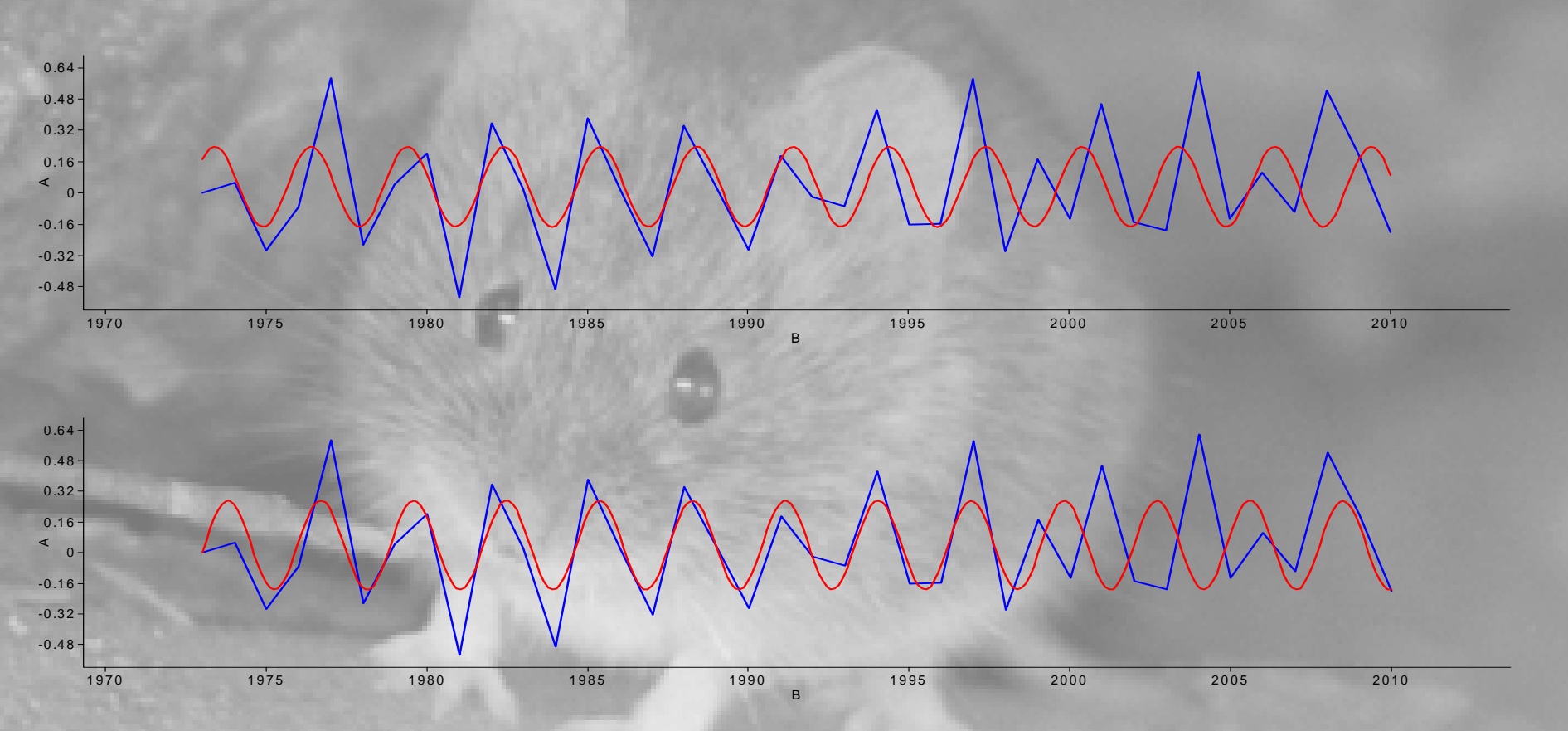
I – нет колебаний;II- быстро затухающие 2-х т циклы;III – циклы периода 2- 4;IV- циклы периода > 4.

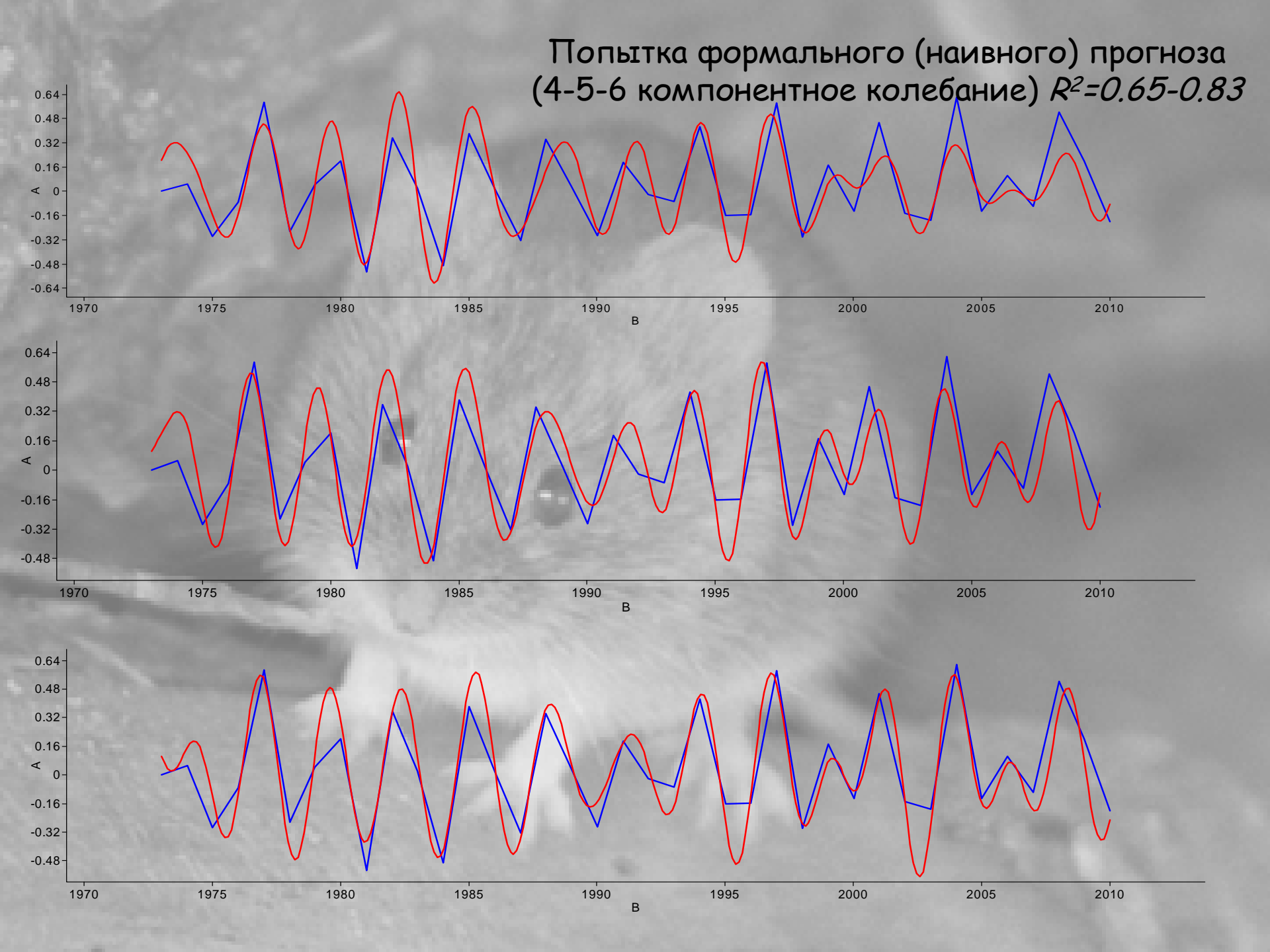
Оценки параметров авторегрессии для 33 рядов динамики численности лесных полевок (Кшнясев, 2004).



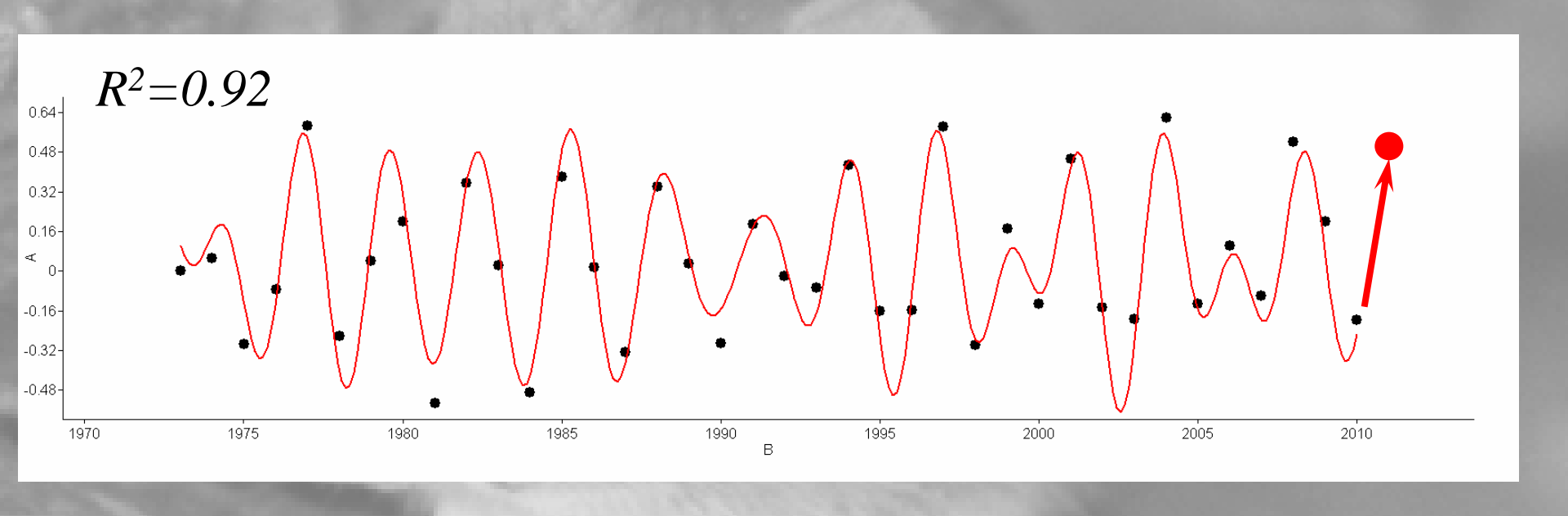
## Попытка феноменологического («наивного») прогноза Детр. ряда ГЛПС (1 компонентное колебание)

 $R^2 = 0.23 - 0.30$ 

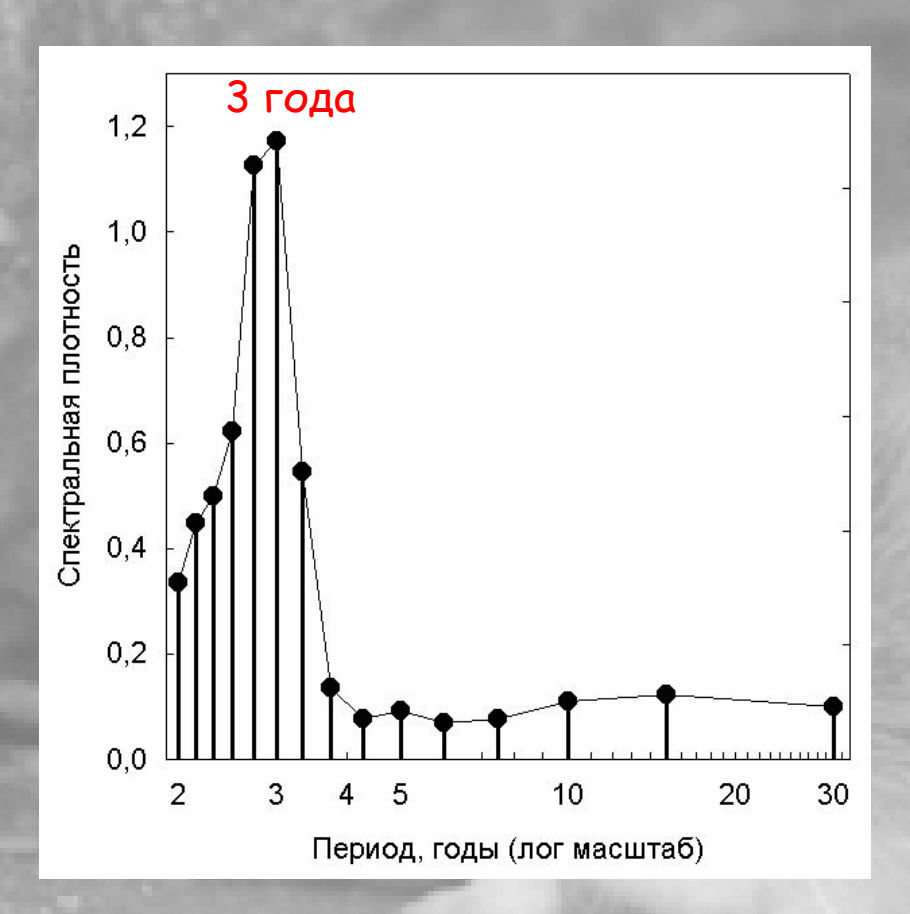


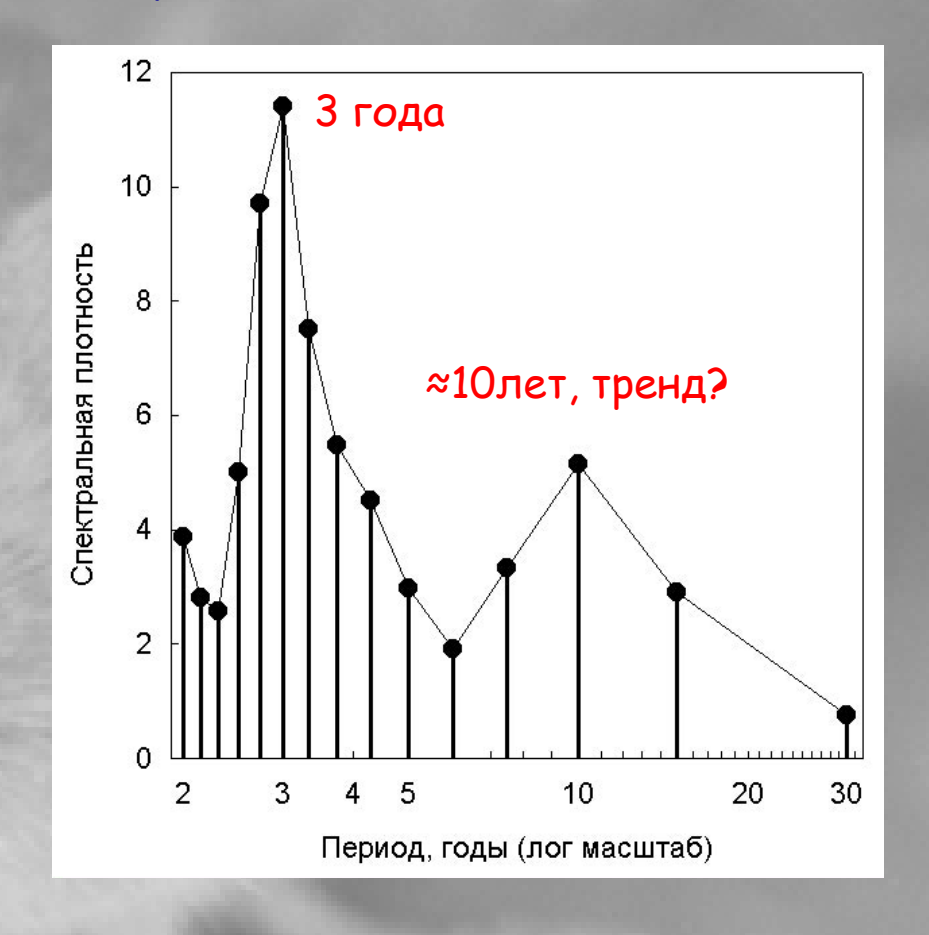


# 7 компонентное колебание: Сумма 7 гармоник (Т:= 2.3-3.8 лет)



## Наиболее мощная компонента динамики - 3x летний цикл

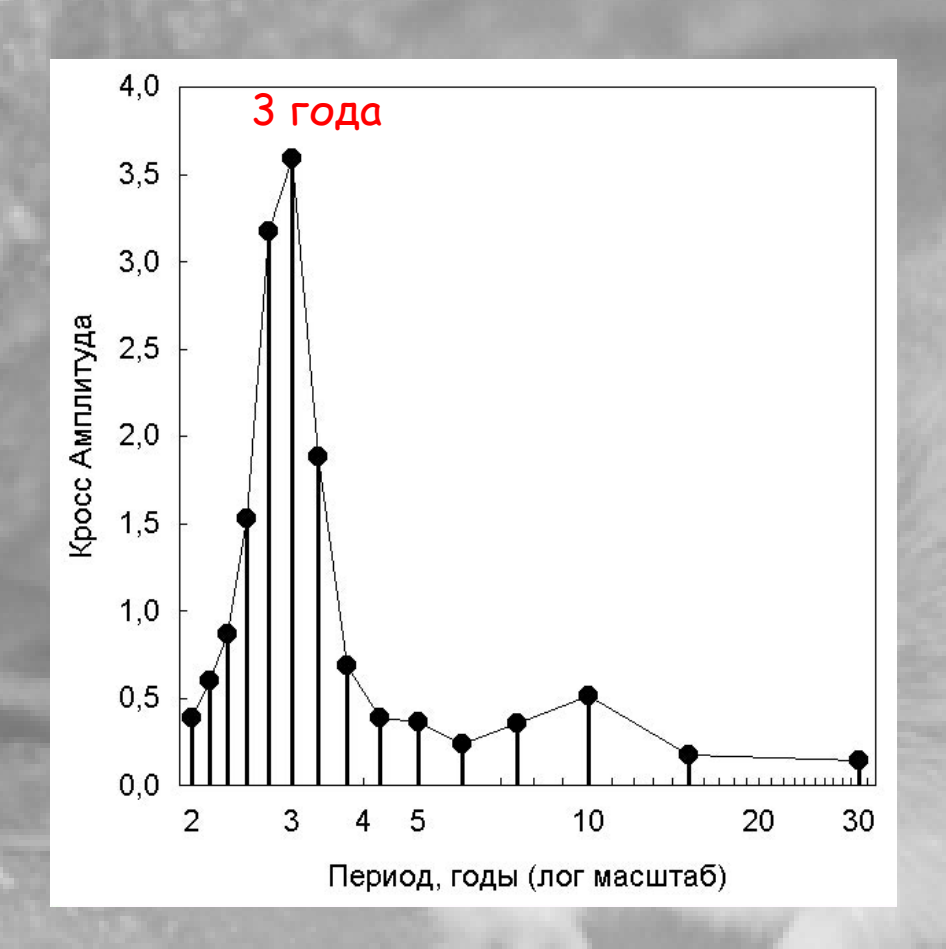


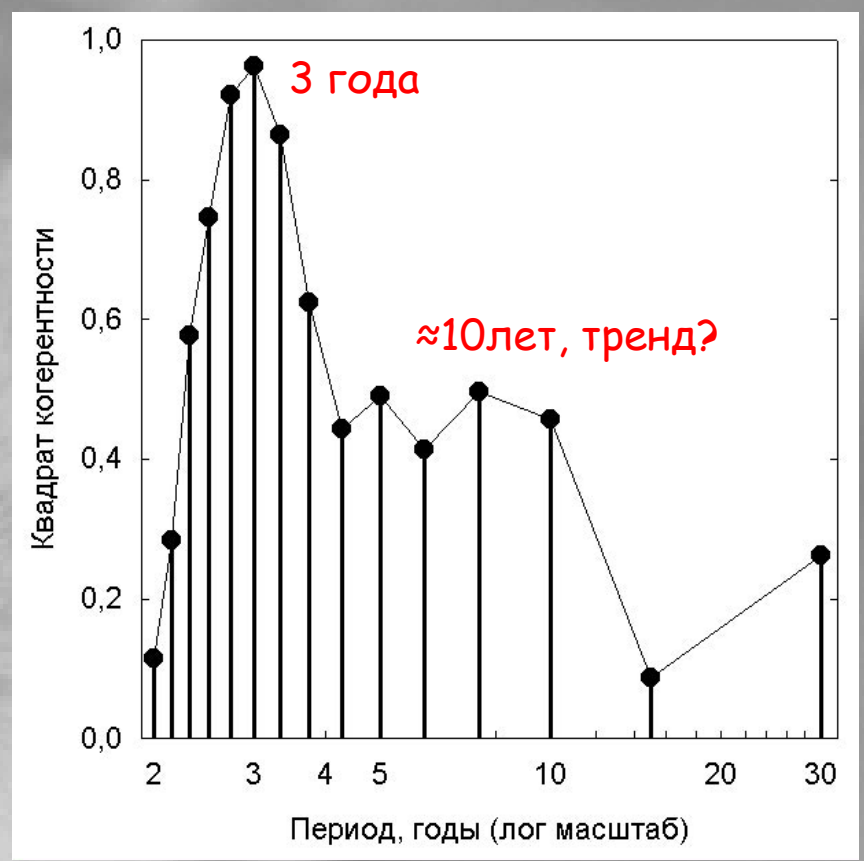


Спектр мощности Ряда ГЛПС

Спектр мощности ряда урожая липы

## Наиболее мощная компонента динамики - 3x летний цикл

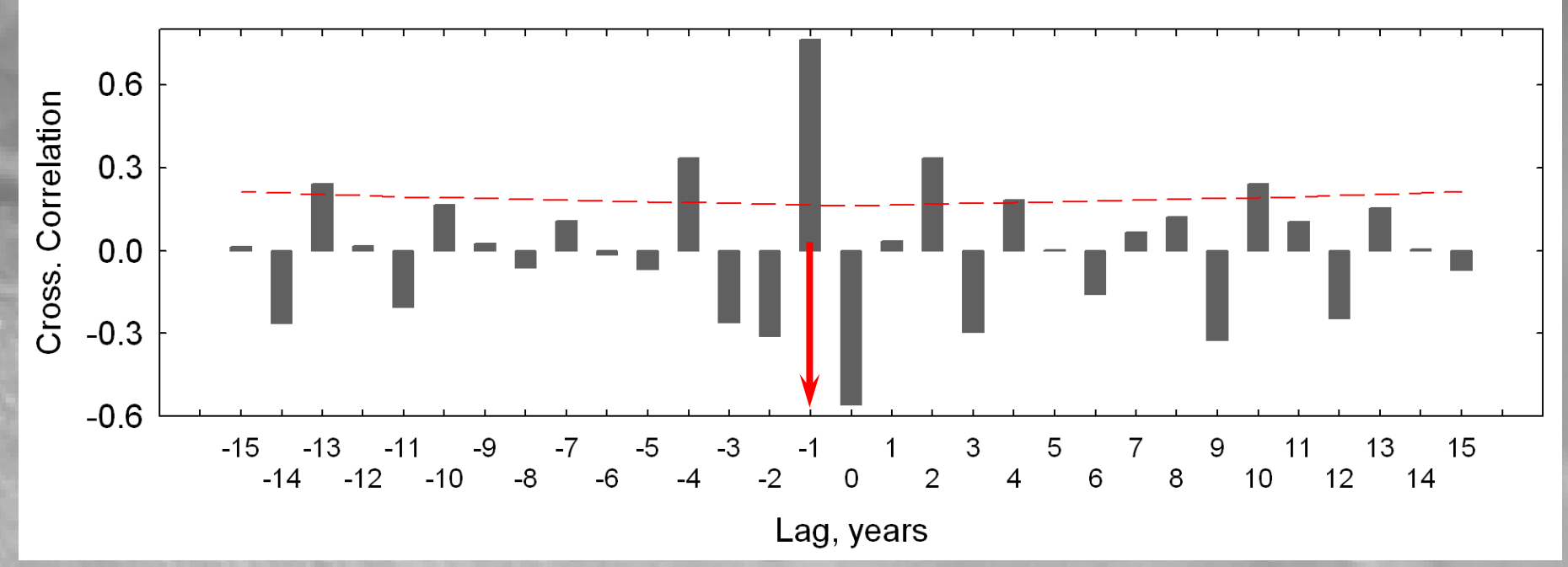




## Коспектральный анализ Ряда ГЛПС и урожая липы

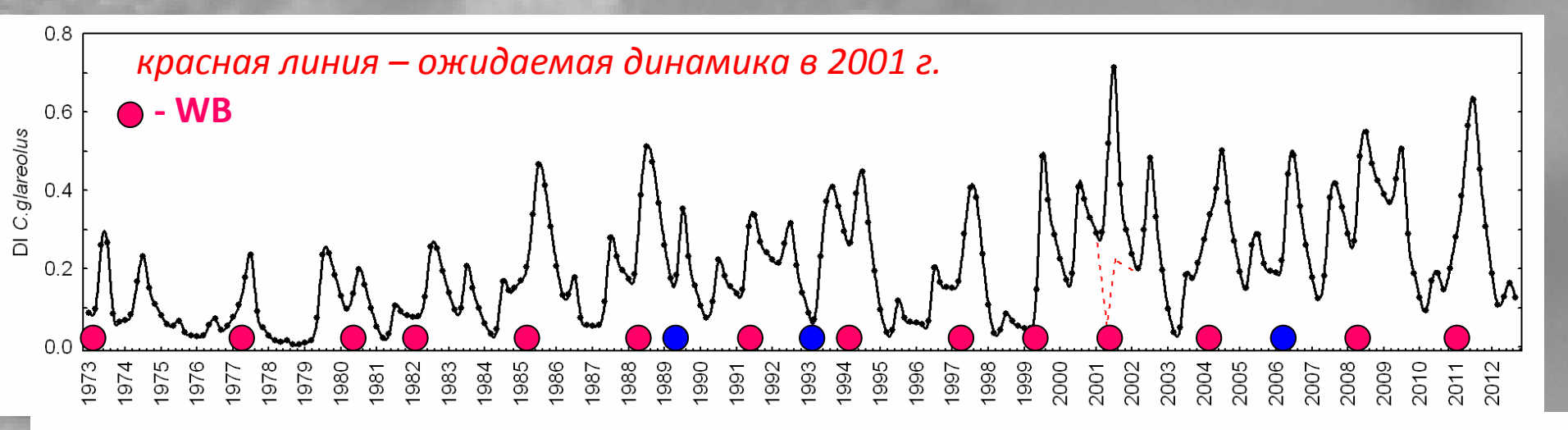
# Кросскорреляция ГЛПС и урожая (баллы 0-5) Плодов липы

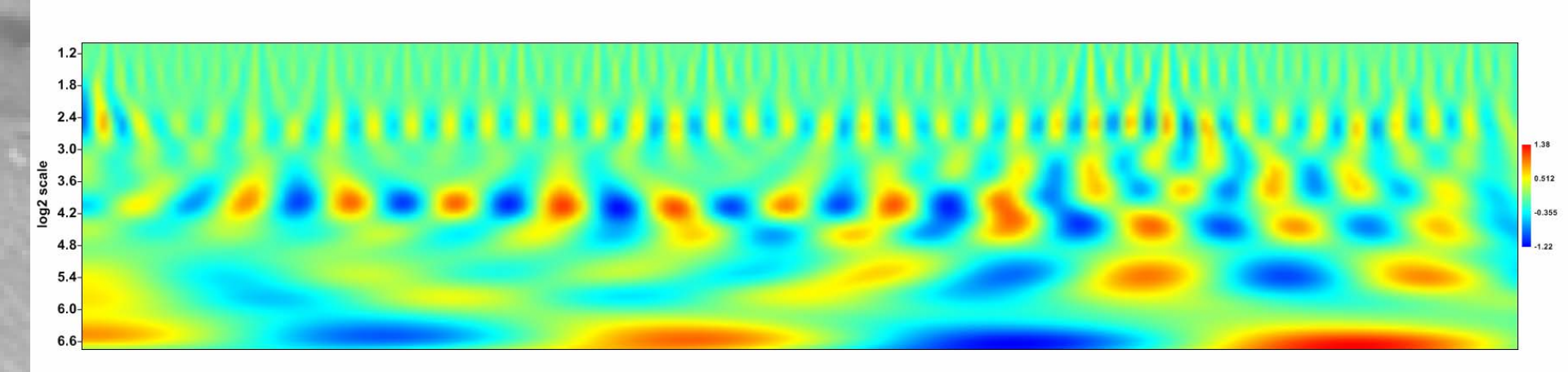




# Динамика численности РП (n/ΣтN) синхронизируется внешним колебанием?

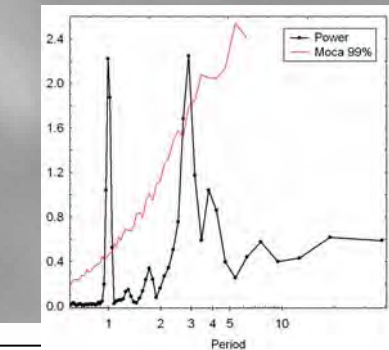
Ижевск (<u>56°50′СШ 53°11′ ВД</u>), (апрель, июнь, август, октябрь + интерполяция) 1973-2012 гг.



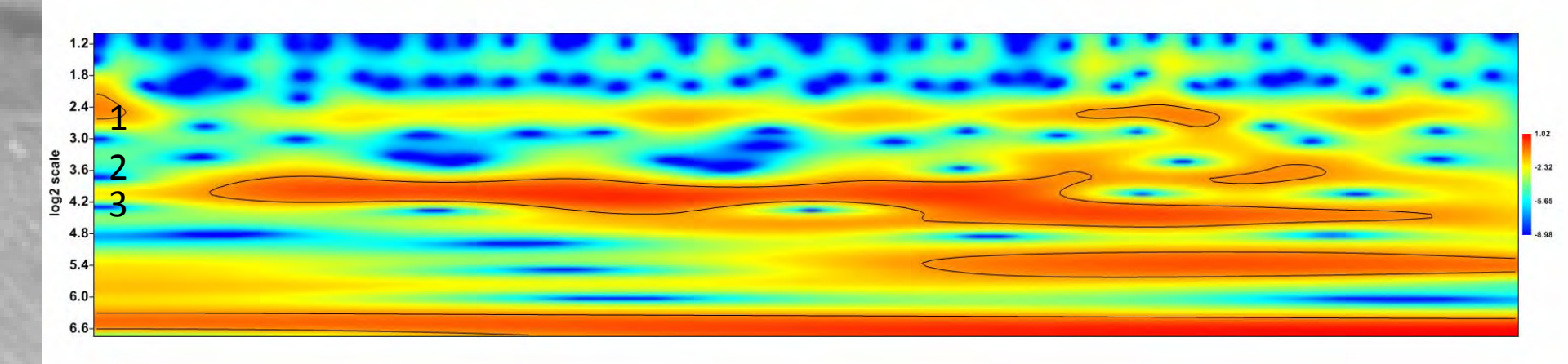


Вейвлет-шкалограмма (красный – максимумы, синий -минимумы)

Циклические компоненты динамики численности рыжей полевки (n/N) Ижевск, (56°50′СШ 53°11′ ВД), (апрель, июнь, август, октябрь + интерполяция) 1973-2012 гг.

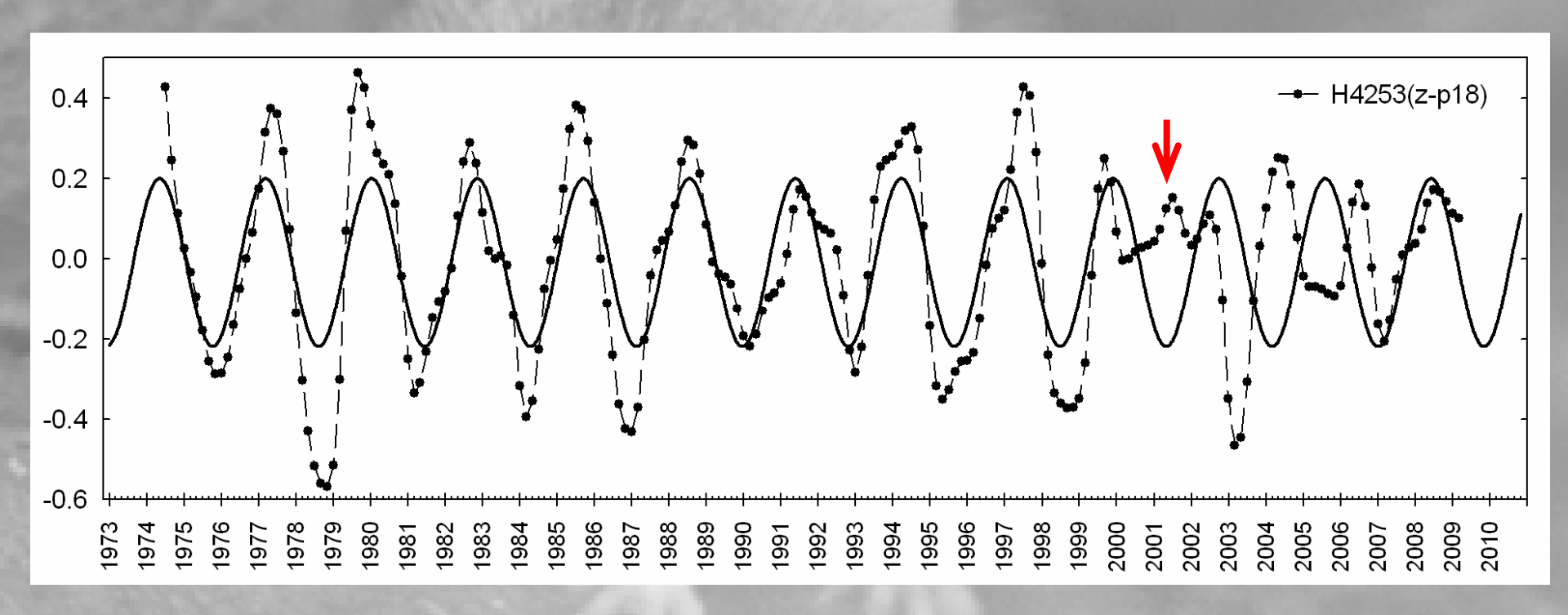






Вейвлет-спектр (красный – максимумы, синий -минимумы)

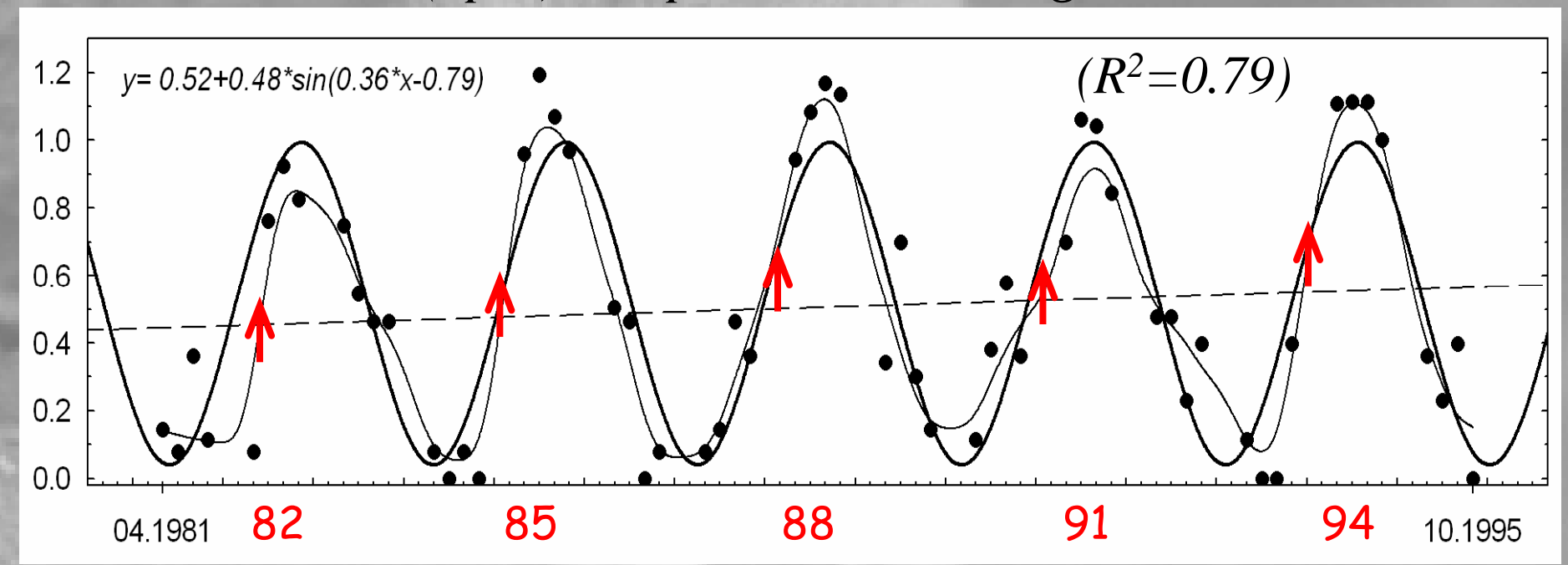
Динамика рыжей полевки, Ижевск, 1973-2010 гг. Сезонность и тренд удалены, предварительно интерполированы значения до получения эквидистантного ряда (6 точек = 1 год)



 $y=-0.21*sin(0.3687*t+1.36), R^2=0.43, T=17.0 (16.9-17.2)$  отсчетов.

# Очаг PUUV инфекции как «гармонический осцилятор», Синхронизированный внешней периодической силой?

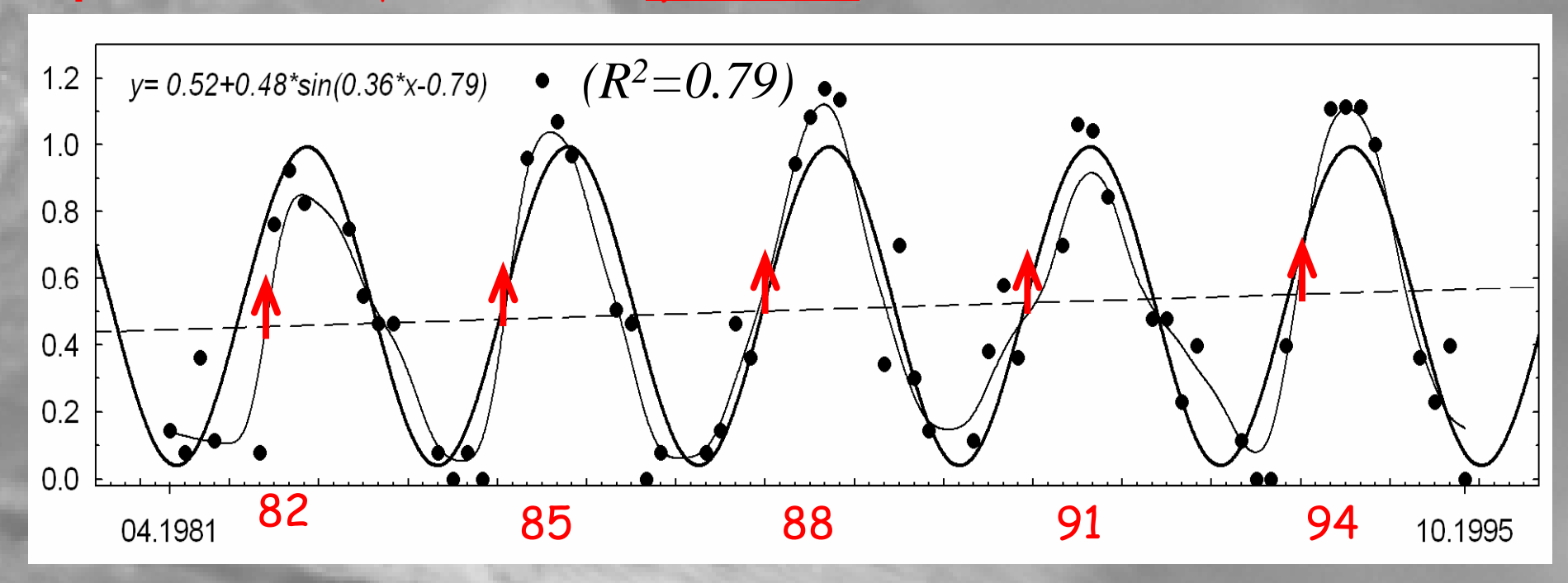
Y=1.6+arcsin(2p-1), где p- плотность  $Ag^{+}$  РП на 100 л-с



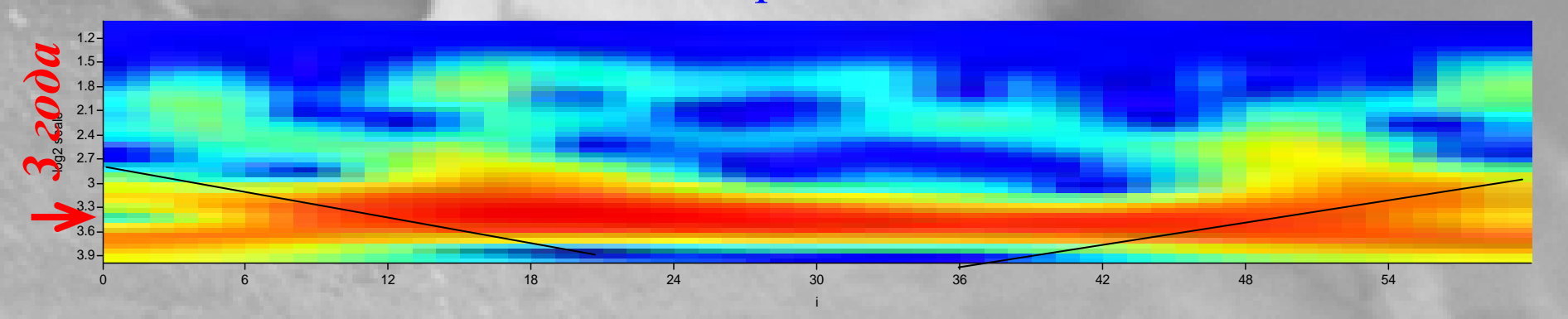
15 лет  $Ag^+$  мониторинга, 4 раза в год **5 лет с зимним размножением**, 5 трехлетних циклов активности очага ПУУ XВ!

#### Очаг ПУУ XB инфекции как «гармонический осцилятор», Синхронизированный внешней периодической силой?

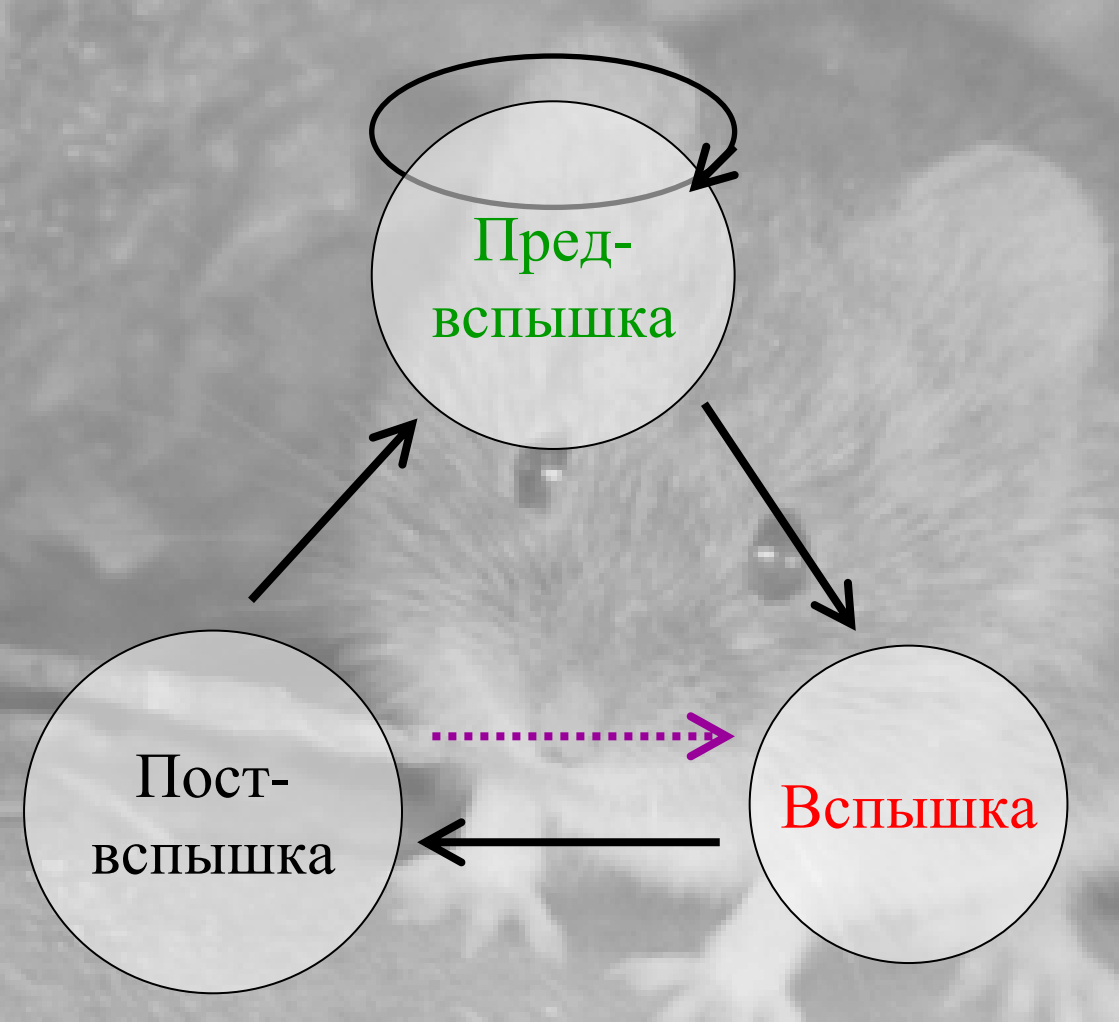
1-- 5 лет с зимним размножением, 5 <u>трехлетних</u> циклов активности очага ПУУ XB!



Вейвлетный спектр, Т=17.5/6=2.91 года

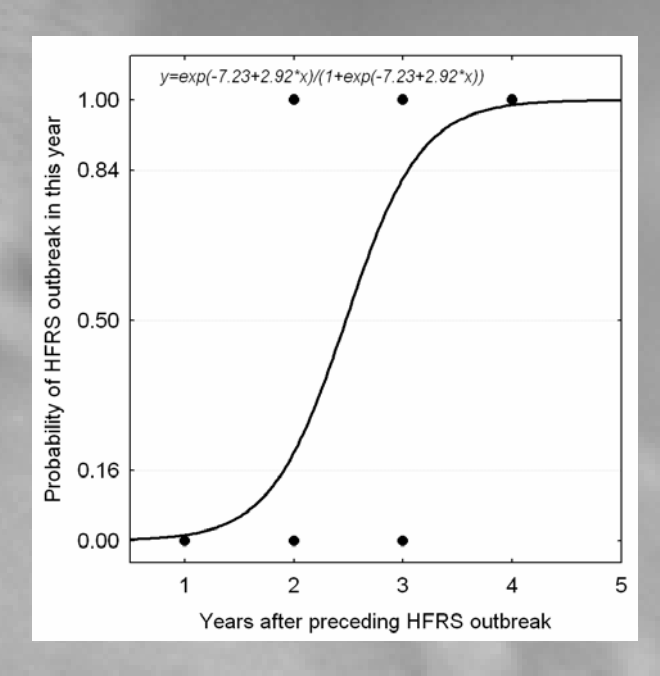


# Ориентированный граф - модель многолетнего Эпизоотического/эпидемического цикла

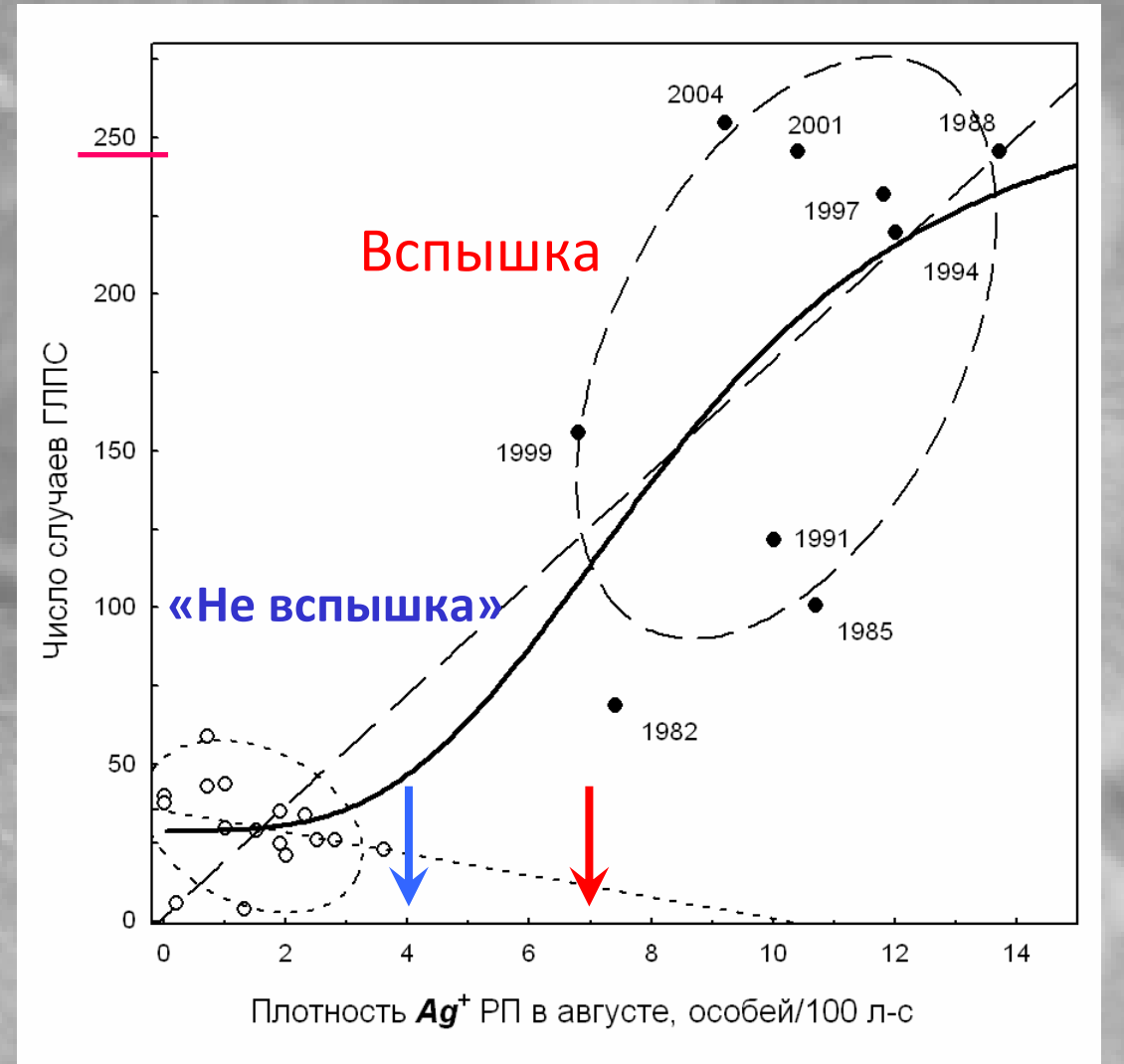


Интервалы между Вспышками:

2 года - 3 **3 года - 8** 4 года - 2



# **Заболеваемость ГЛПС в <u>г. Ижевске</u>** в t-эпидсезоне в зависимости: от плотности $Ag^+$ РП (особей на 100 л-с) в августе, и сроков начала репродукции (<u>1981-2005</u>).



(многолетний тренд не удален!)

<u>Кружки – годы без раннего</u> размножения:

y = 35.2 - 3.45x;

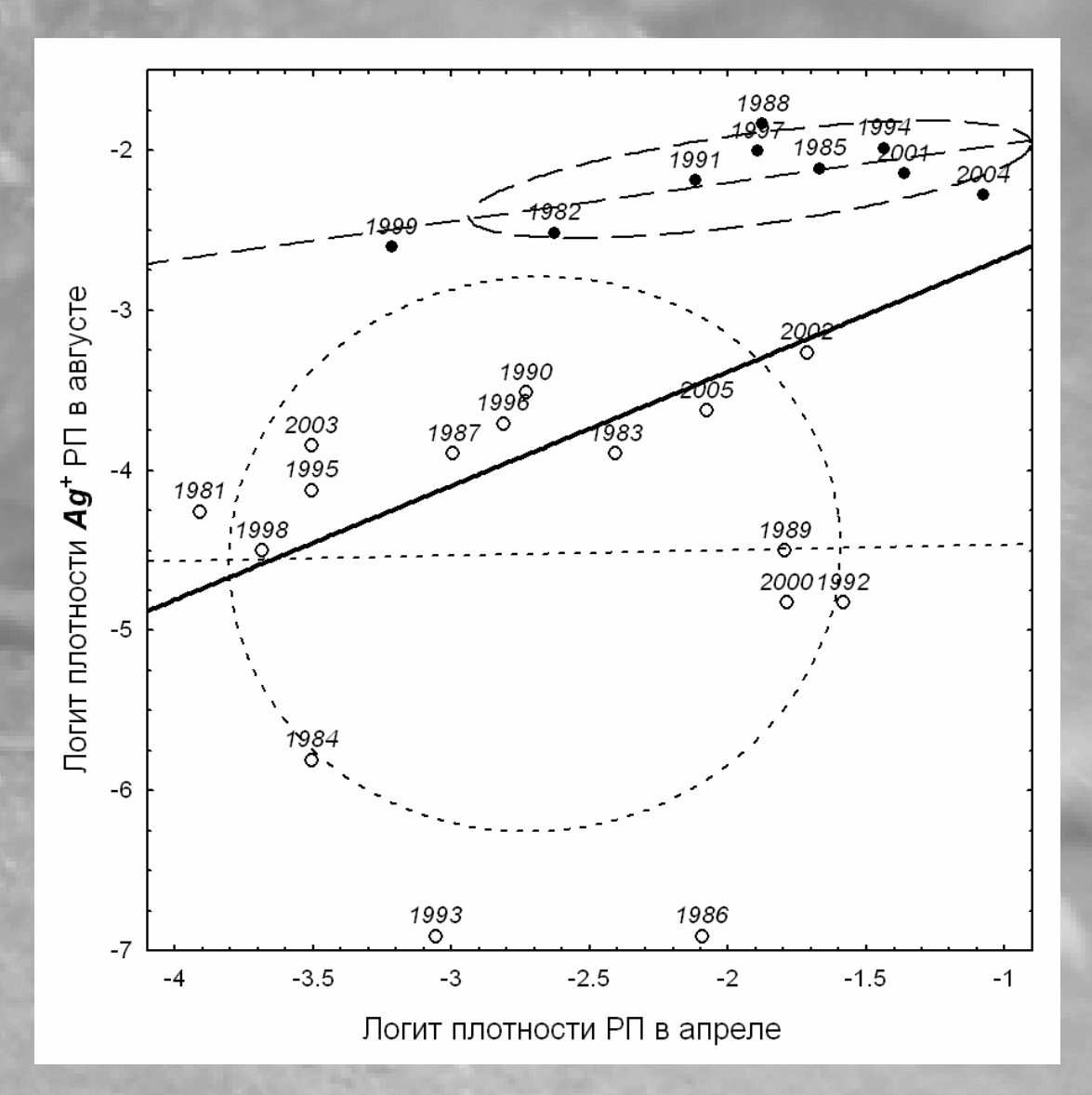
Точки – годы раннего размножения:

y = 1.5 + 17.75x;

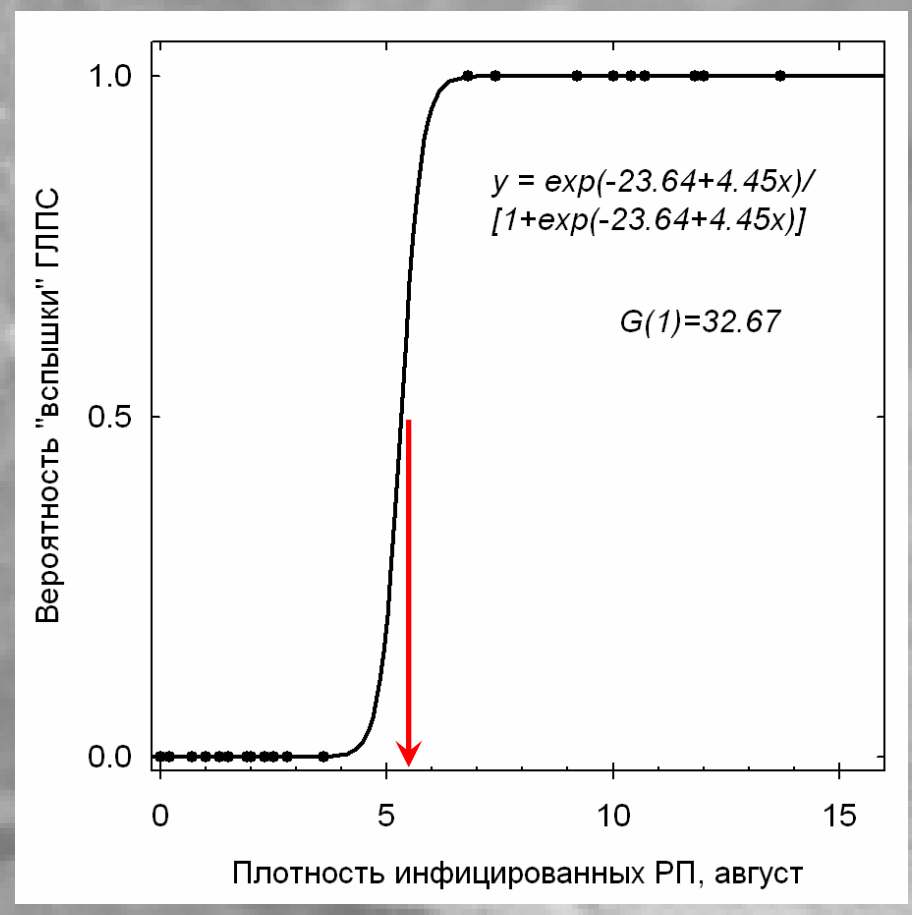
Сплошная жирная линия – все годы:  $R^2 = 0.82$ 

 $y = 270.5 - (270.5 - 8.8)/[1 + (x/8.4)^{3.41}]$ 

Регрессия плотности  $Ag^+$  РП в августе на общую плотность РП в апреле, в зависимости от срока начала размножения, 1981-2005.

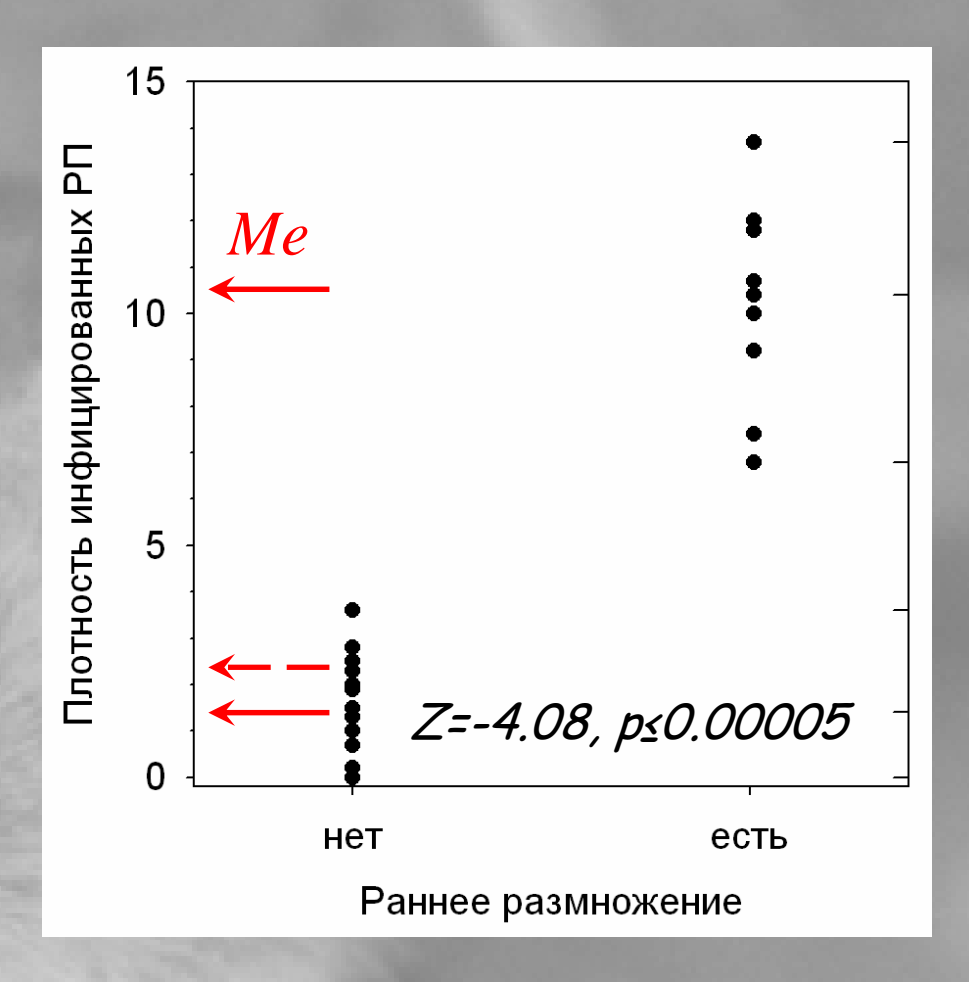


Линии регрессии и доверительные эллипсоиды: кружки и короткий штрих — годы без раннего размножения; точки и длинный штрих — годы раннего размножения; b1 - угловые коэффициенты сходны, b0 - различаются (X²(1)=21.0), жирная линия - «кажущаяся» зависимость  $Ag^+$  от плотности.



Оценка вероятности «вспышки» ГЛПС в зависимости от активности эпизоотического процесса в популяции РП.

Эпизоотические исследования 1981-2005

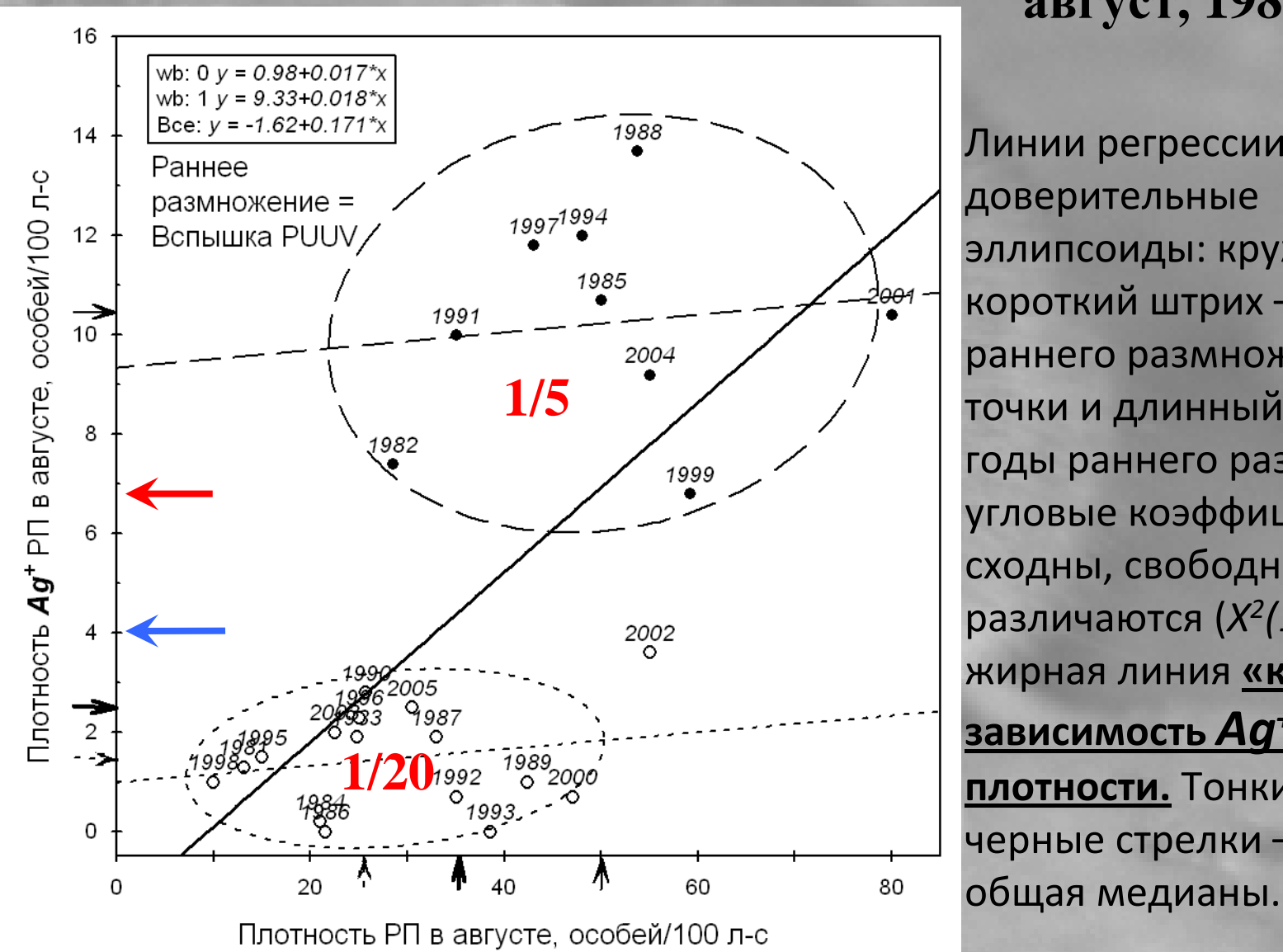


Активность эпизоотического процесса в популяции РП как плотность (особей / 100 ловушкосуток) инфицированных рыжих полевок в августе в годы с наличием или отсутствием зимнего размножения.

### Регрессия плотности Ад+ РП на общую плотность РП,

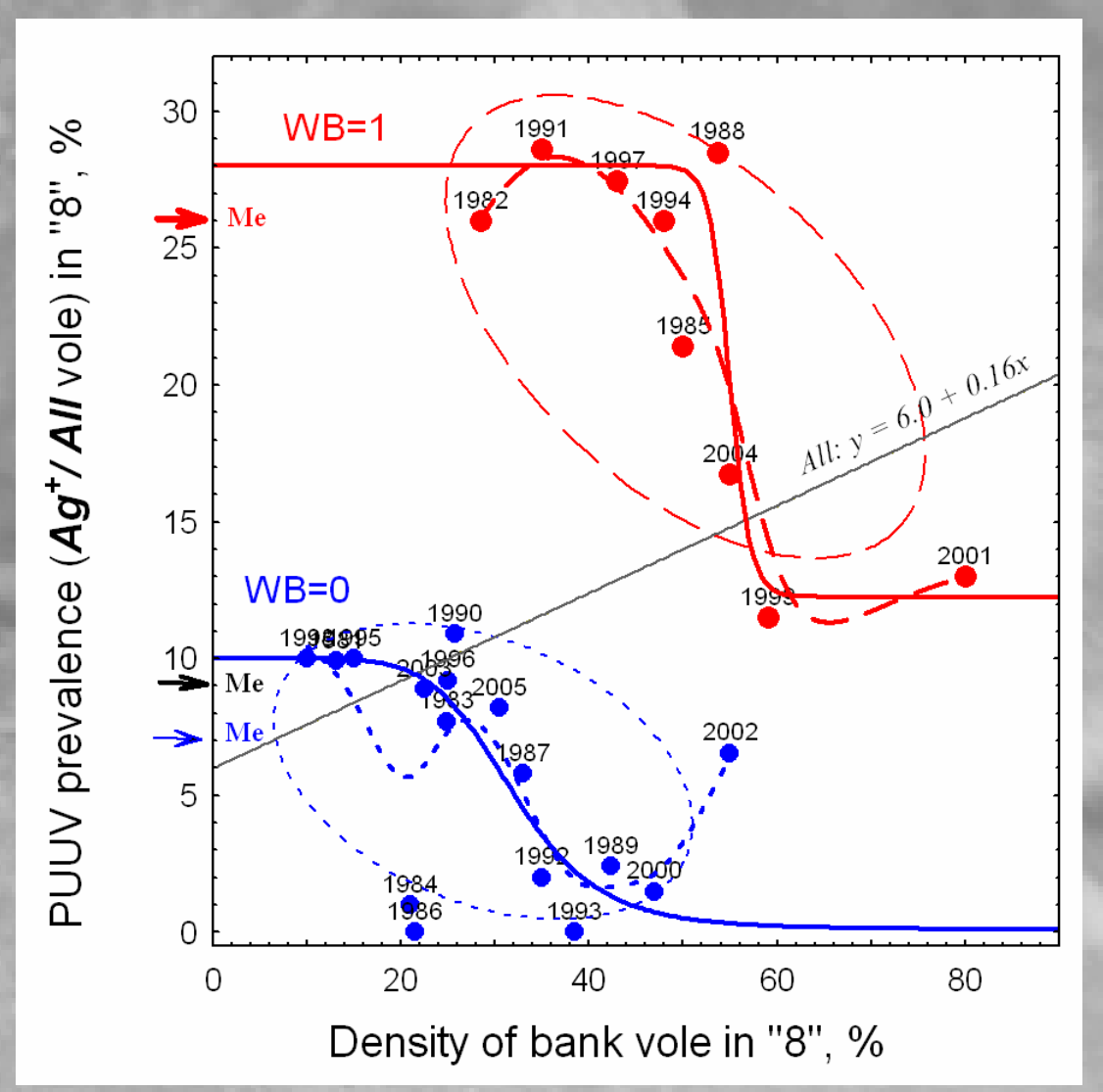
в зависимости от срока начала размножения,





Линии регрессии и доверительные эллипсоиды: кружки и короткий штрих – годы без раннего размножения; точки и длинный штрих – годы раннего размножения; угловые коэффициенты сходны, свободные члены различаются  $(X^2(1)=21.0)$ , жирная линия «кажущаяся» зависимость  $Ag^+$   $P\Pi$  от плотности. Тонкие и толстая черные стрелки – частные и

### Регрессия доли Ag<sup>+</sup> РП на общую плотность РП (тренд не удален), С учетом срока начала размножения (WB=0; 1), август, 1981-2005 гг.

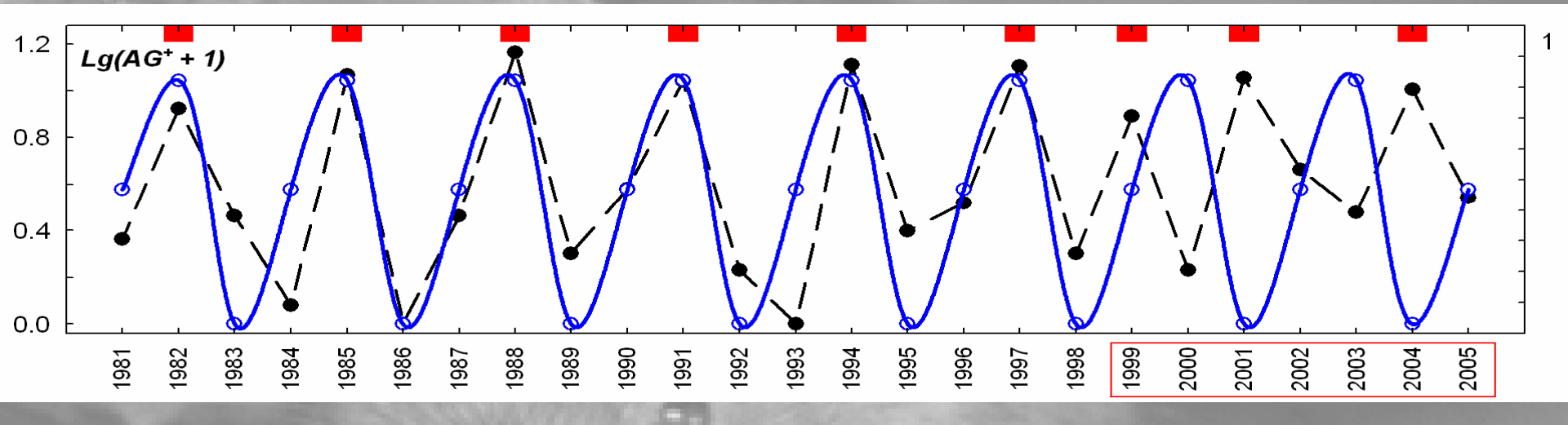


Нелинейная зависимость от плотности! Механизмы (?):

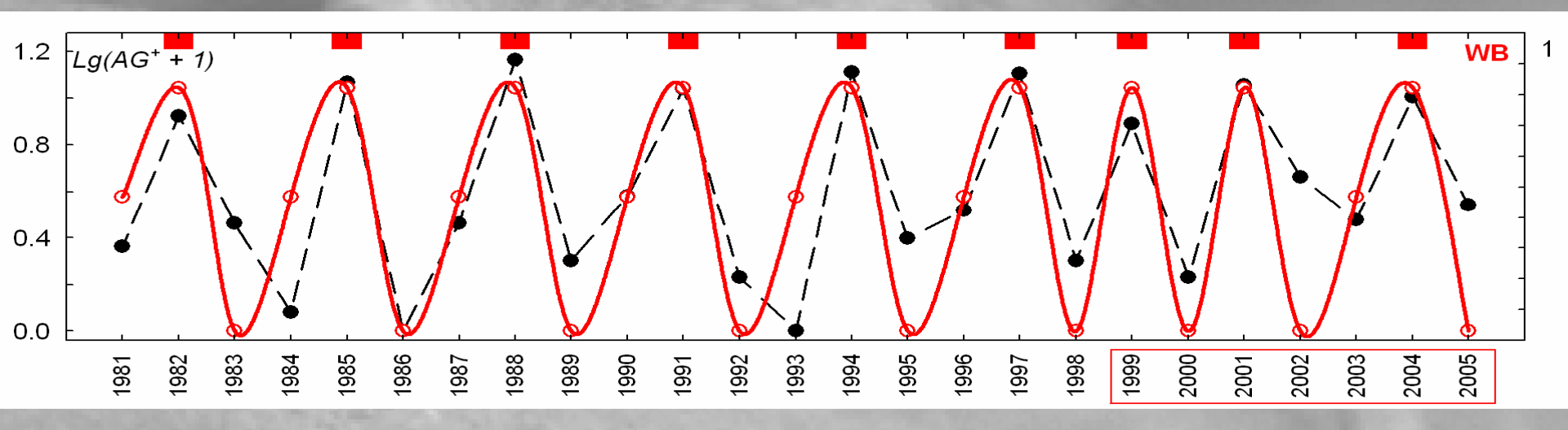
- SIR динамика?
- Врожденный иммунитет
- Эфф. «разбавления»
- П-3 социальные эфф.: торможение (блок) созревания сеголеток
- Пресс хищников (???)

Наблюдаемая плотность  $\log_e (1+AG^+)$  рыжих полевок (точки) в августе 1982-2005 гг., и динамика (жирная линия),  $N(t+1)=1+2.8N(t+1)/\{1+[N(t+1)/4.3]^{24.9}\}$ .

Столбики сверху – зимнее размножение.



 $r_{1982-1999}$  =**0.92**,  $t_{17}$  =9.44 для всего ряда  $r_{1982-2005}$  = **0.56**,  $t_{24}$  =3.23



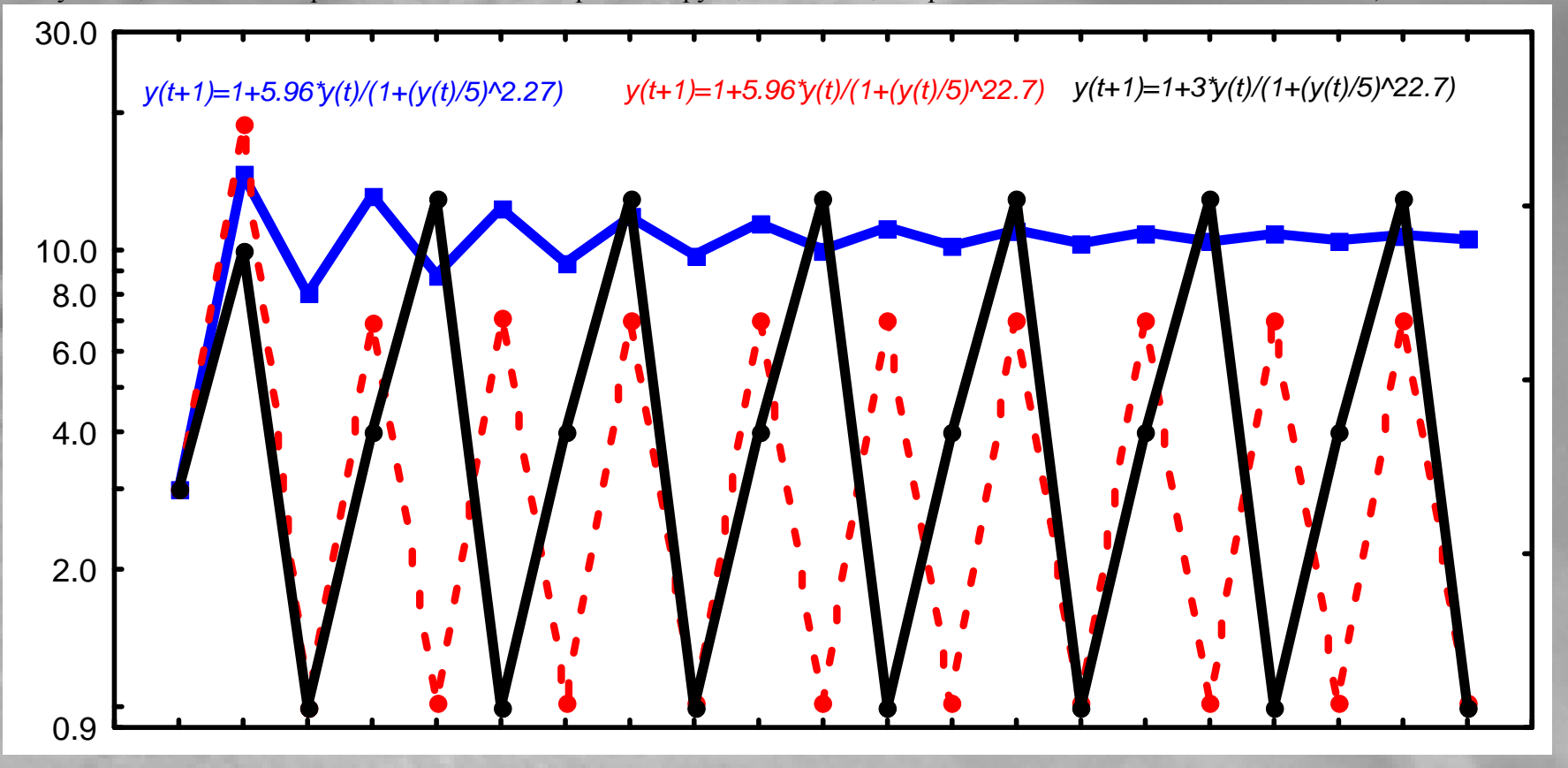
для всего ряда, с учетом WB:  $r_{1982-2005} = 0.91$ ,  $t_{24} = 10.83$ 

• Таким образом, динамика активности исследованного ХВ очага может быть сравнима с (возможно, автономным) колебанием, синхронизируемым импульсами внешней квазипериодической силы, а эпизоотические вспышки в оптимуме ареала резервуарного хозяина (по контрасту с другими частями ареала) сопоставлены явлению резонанса или флаттера.

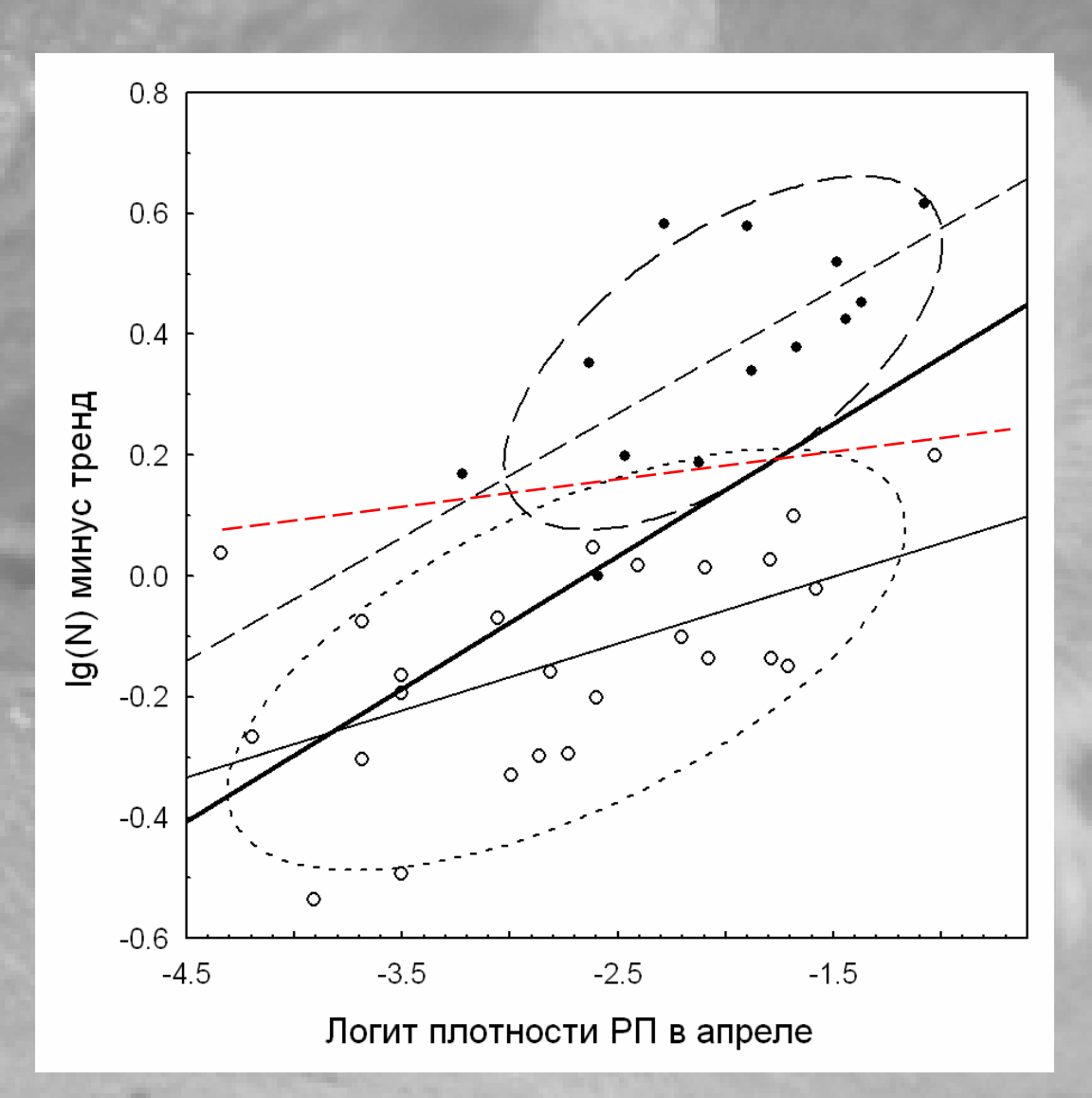
# Механистическая (или феноменологическая?) модель $N(t+1)=\epsilon+\alpha N(t)/\{1+[N(t)/\beta]^{\gamma}\},$

Где N(t+1) и N(t) – плотность инфицированных,

- ε нижний порог (регистрируемости), наличие эмиграции (и вообще пространственной структуры)
- $\alpha$  естественная скорость роста (воспроизводво инфицированных особей суррогат i\*n, т.е. контагиозности и рождаемости ср. Холлинг)
- В стационарное состояние
- γ крутизна ступеньки, степень сверхкомпенсации («микс»/коктейль материнские антитела, врожденный приобретенный иммунитет, конечность времени активной экскреции вируса, и наконец, смертность вследствие г.о. хищничества)



Связь логарифма заболеваемости ГЛПС в <u>УР</u> (многолетний тренд удален) в t- эпидсезоне в зависимости от плотности РП в апреле, 1973-2010 гг.



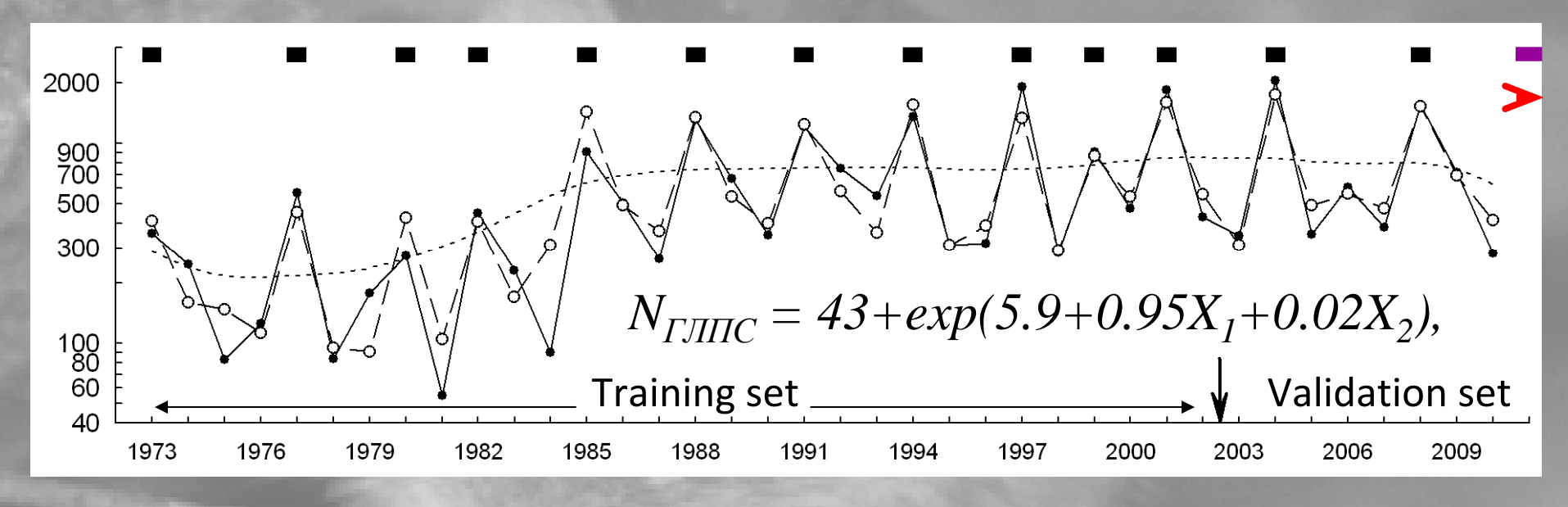
Линии регрессии и доверительные эллипсоиды: кружки и короткий штрих — годы без раннего размножения, z=0: y=0.16(0.09)+0.11(0.03)x;

точки и длинный штрих — годы раннего начала размножения: z=1: y=0.78(0.14)+0.20(0.07)x; угловые коэффициенты сходны, b0 - различаются,  $\Delta=0.62(0.17)$ ; жирная линия y=0.58(0.12)+0.22(0.04)x — «кажущаяся» зависимость от плотности. Лучшая модель: y=0.42(0.07)+0.21(0.03)z+0.13(0.03)x

Отбор 1 факторных моделей ( $y=log(N)=b_0+b_ix_i$ ) для описания и прогноза заболеваемости населения ГЛПС в Удмуртии, эпидсезоны 1973-2010 гг.

· 学生工作		10	1980	Δ	«Bec»	Prior	Posterior
Предикторы (X <sub>i</sub> )	K	-2LogL	G(1)	CAIC	W	desirability	desirability
1. Ранняя репродукция	2	-27.63	39	0	0.994	0.125	0.951
2. Урожай семян липы, (t-1), 0-5	2	-16.99	28.36	10.64	0.005	1	0.037
3. Урожай семян липы (t-1), 0/1	2	-14.66	26.03	12.97	0.002	1	0.012
4. Плотность в июне (t)	2	-6.32	17.69	21.31	2.3E-05	0.063	1.00E-05
5. Плотность в апреле (t)		-1.99	13.36	25.64	2.7E-06	0.125	3.00E-06
6. Плотность в августе (t)	2	3.95	7.42	31.58	1.4E-07	0.032	3.00E-08
7. [H0]	1	11.37		34.36	3.4E-08		
8.Урожай семян ели, 0-5, (t-1)	2	9.17	2.2	36.8	1.0E-08	1	8.00E-08

## Число случаев (лог-шкала) заболевания ГЛПС в Удмуртской республике (1973-2010). Данные и прогноз Жигальский и др. 2013.

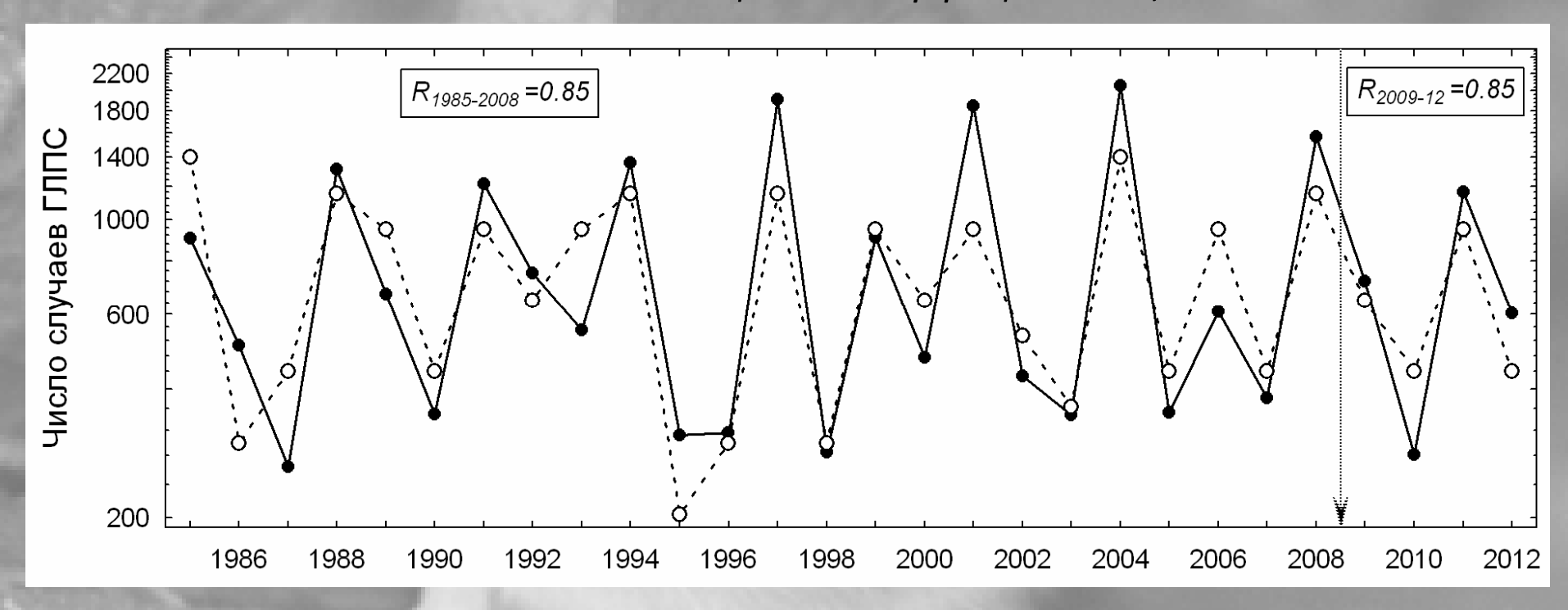


где, X1 — зимнее размножение (1 - да, 0 - нет); X2 - Численность РП в апреле, ос./100 л-с. Прогноз на 2011 г = 1140 случаев (+6%!) (1078 за год зарегистрировано!)

Точки и сплошная линия — наблюдаемые, кружки и штриховая линия — предсказываемые значения, пунктир — тренд. Стрелка разделяет годы наблюдений использованные и неиспользованные для оценки параметров (2003-2010).

Заболеваемость ГЛПС в УР (точки) <u>1985-2012</u> гг (эпидсезоны!) и прогноз (кружки) с помощью модели нелинейной (или линейной в логарифмах!) регрессии *lg(Y)=b0+b1\*урожай липы=2.3+0.17\*x*.

1985-2008 гг использованы для оценки коэффициентов, CV: 2009-2012



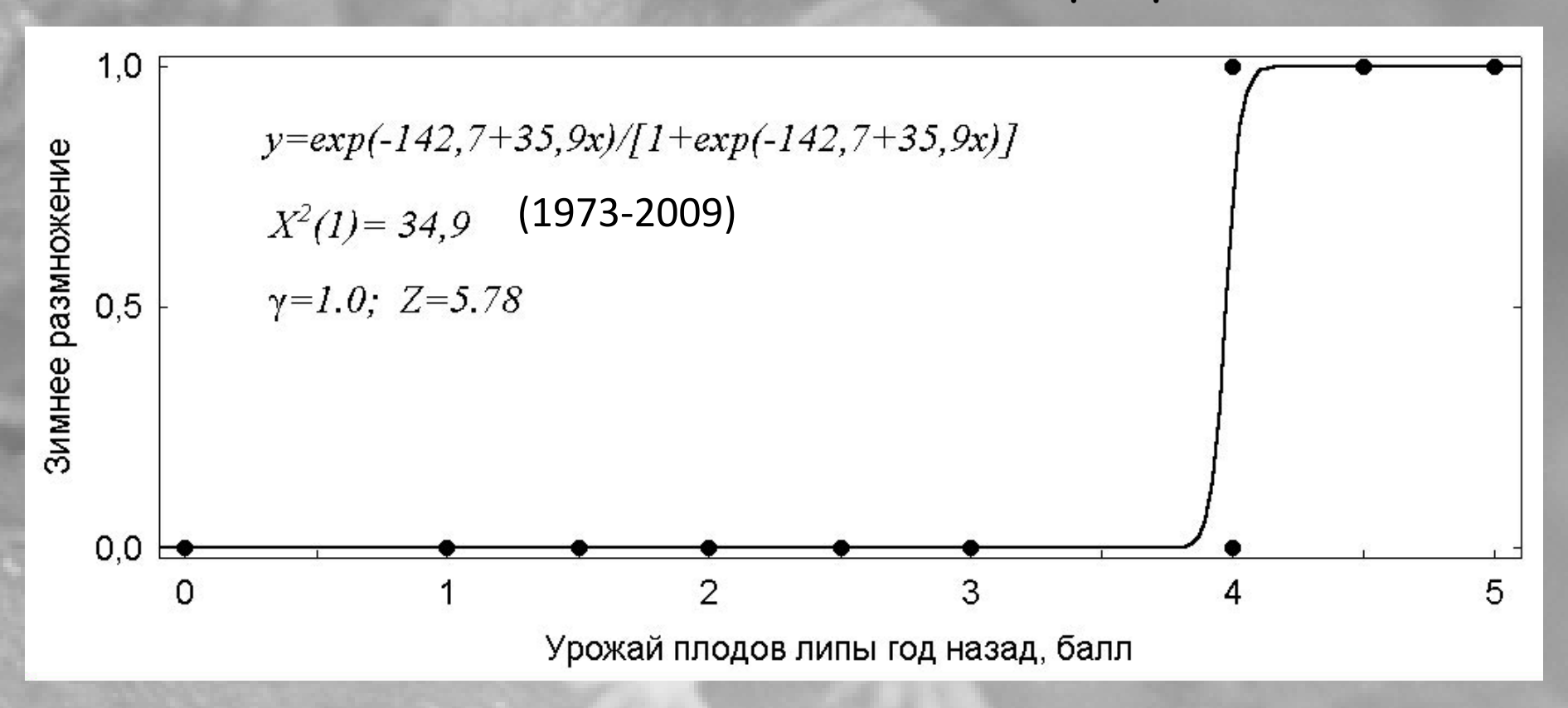
Воттом ⇒ up
(не зависимые от плотности)

«Цикличность

кормовой базы»

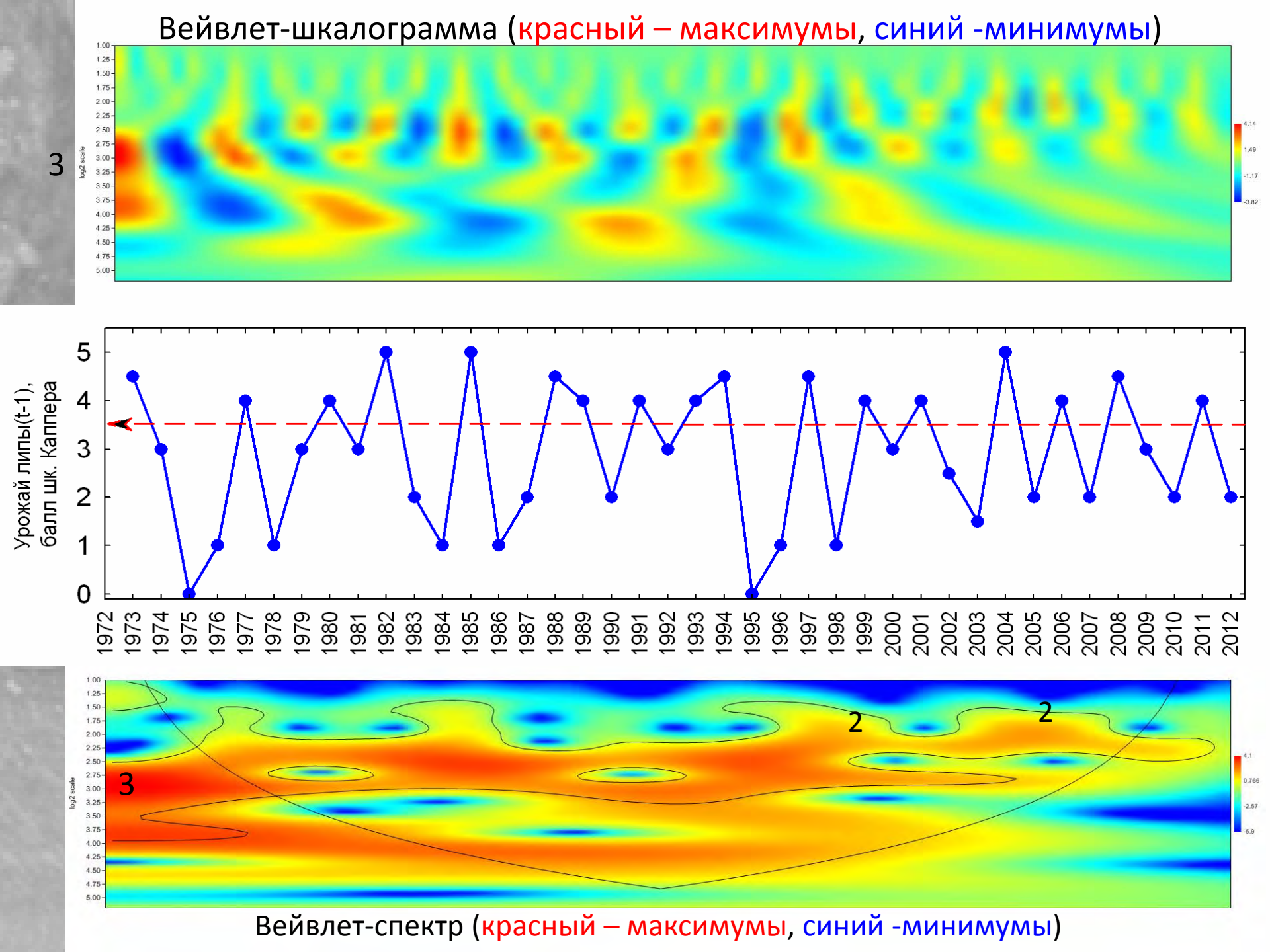
# Зависимость зимней репродукции от обилия зимних кормов

(урожая плодов липы предшествующей осенью) модель логит-регрессии

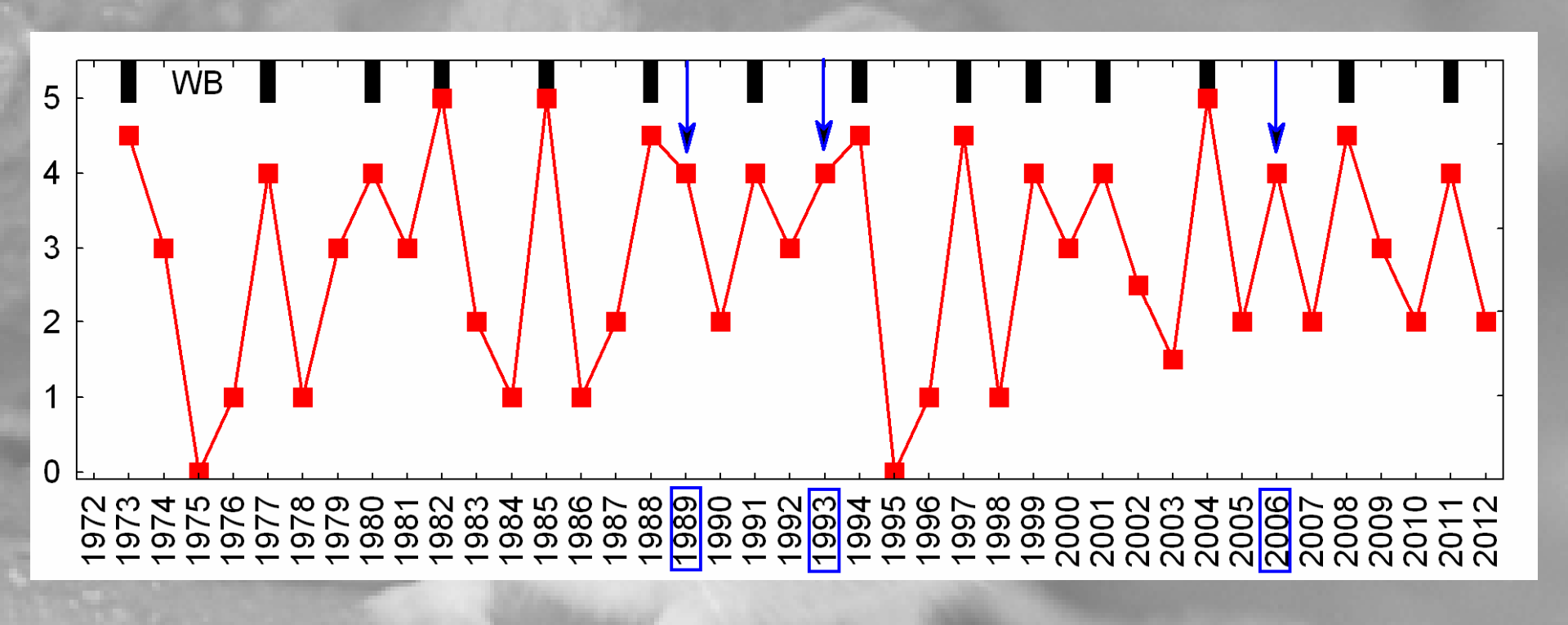


WB=0 | L<=3: 23 WB=0 | L>3:3

WB=1 | L<=3: 0 WB=1 | L>3: 14; 1973-2012: G(1)=40.34



# Годы отсутствия зимнего размножения как отклика на хорошие кормовые условия (урожай плодов липы 4-5 баллов в t-1)



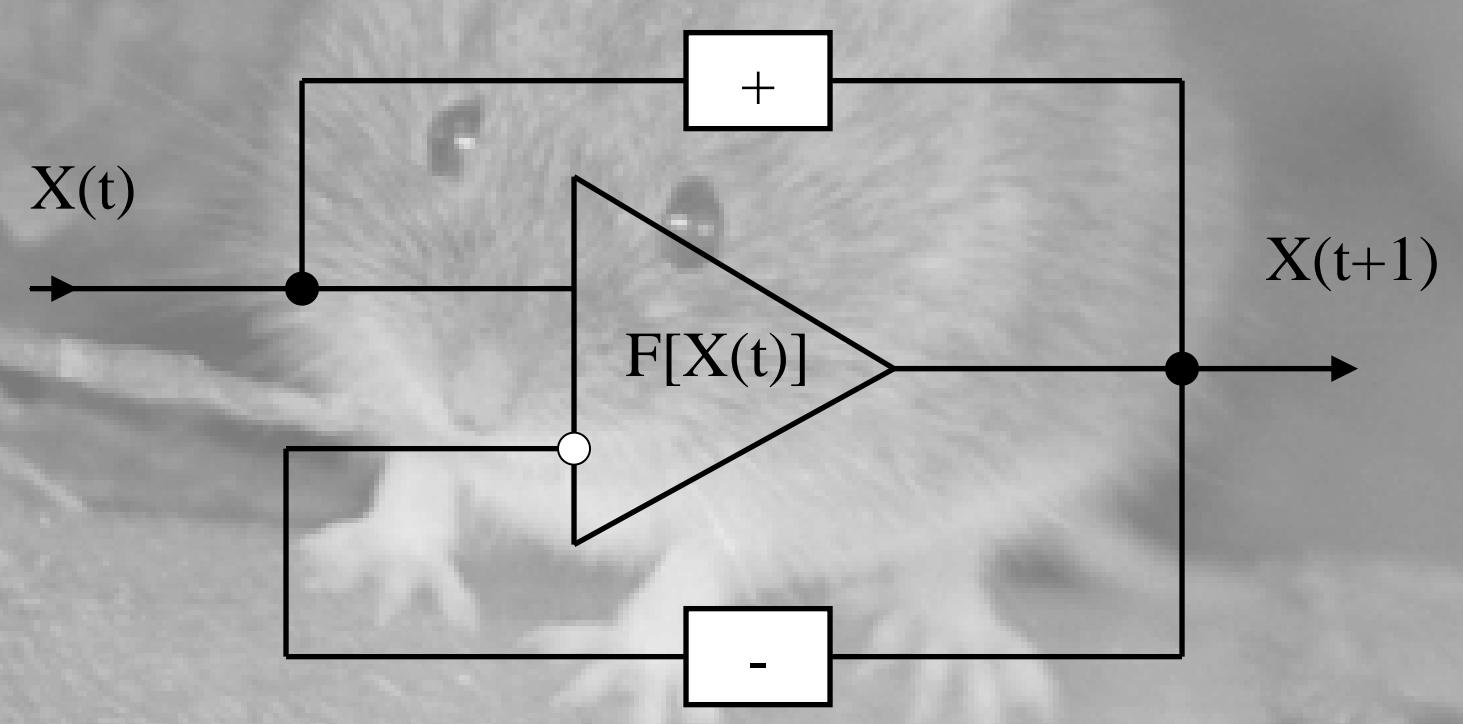
## Прогнозирующие уравнения:

 $Lg(N\Gamma\Pi\Pi C_{YP}) = 2.54 + 0.015*$ Численность в апреле  $+0.38*\Pi$ одснежное размножение

 $Lg(N\Gamma\Pi\Pi C_{Ижевск}) = 1.4 + 0.013*Численность в апреле <math>+ 0.68*$  Подснежное размножение

# Электронный аналог - усилитель с ПОС и ООС

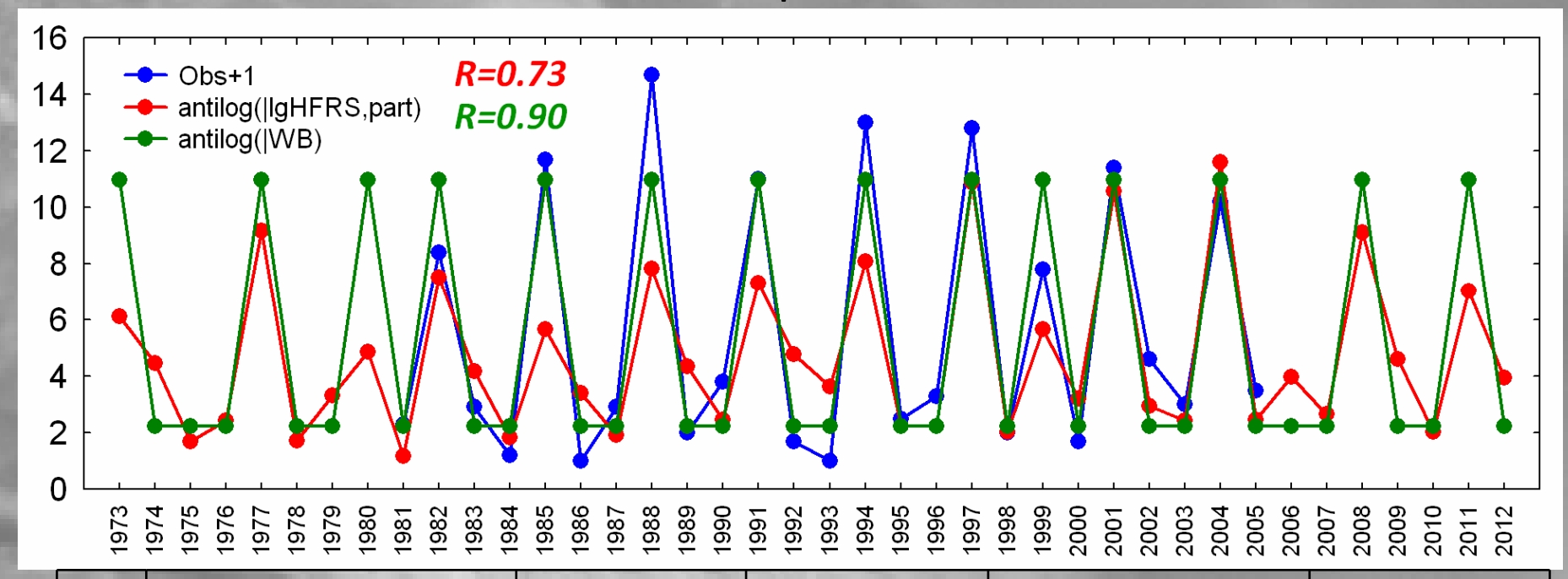
ПОС: заражение восприимчивых, частота контактов, ...



ООС: переболевшие (не восприимчивые), материнские антитела (2 мес.), несозревание сеголеток, хищники, ...

# Реконструкция XB активности с помощью регрессии на заболеваемость ГЛПС(+часть ряда 1985)

#### или зимнее размножение

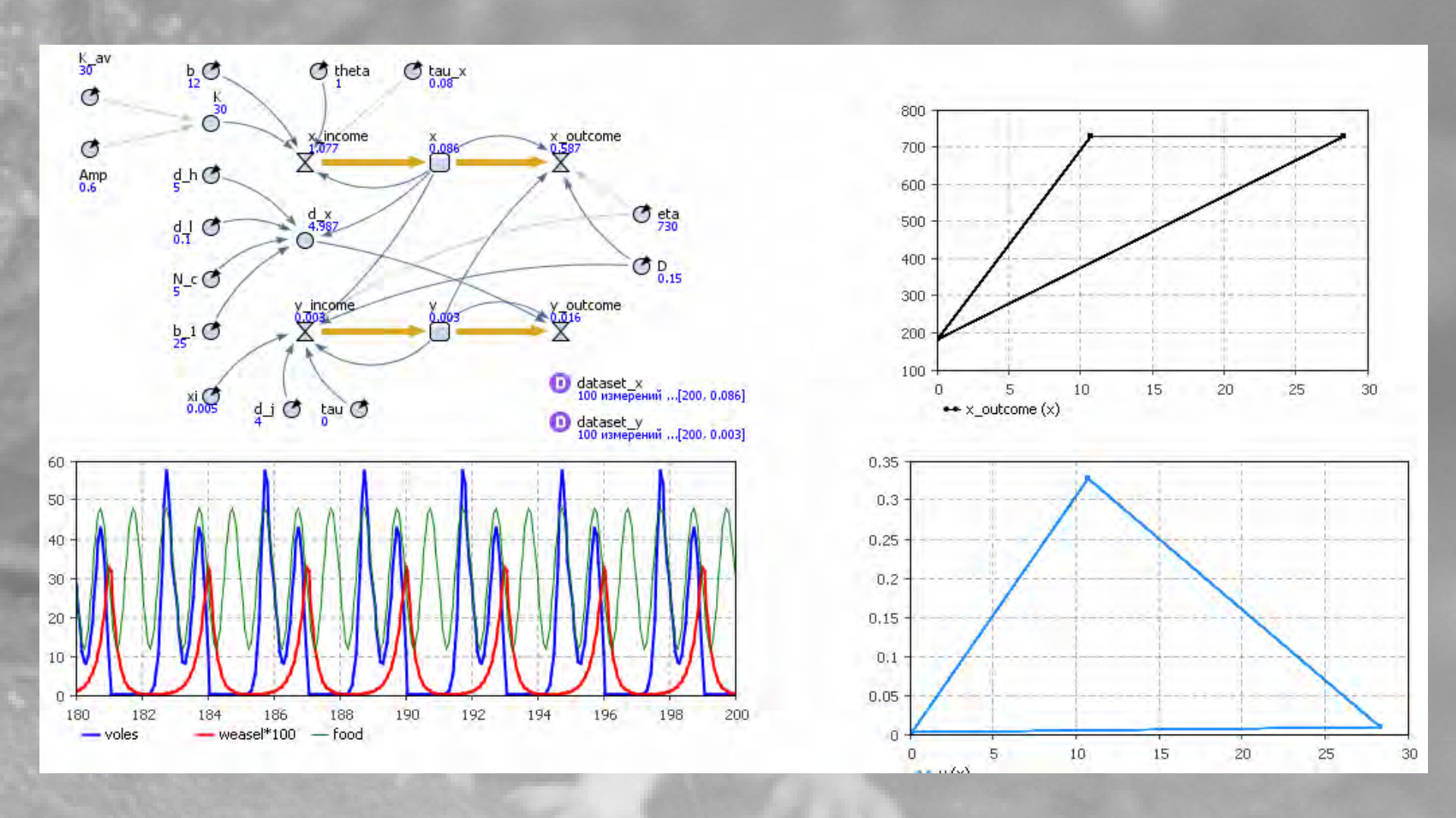


-	Mallows' Cp	Eff	wb	LG10UREpSes	Part=1
<u>1</u>	<u>1.57</u>	<u>1</u>	<u>0.9</u>		
2	2.85	2	0.89		0.08
3	3.55	2	0.88	0	
4	4	3	1.03	-0.2	0.2
5	33.73	2		0.9	-0.39
6	42.38	1		0.7	
7	90.35	1			0.17

### Заключение

- ·Наилучший (minIC) предиктор для прогноза активности очага ПУУ ХВ и заболеваемости населения ГЛПС
  - раннее начало репродукции основного хозяина рыжей полевки,

Которое может быть предсказано по урожаю плодов липы >=4 б. год назад (14:4)



• трехлетние циклы, ...

## Благодарности

- А.Д. Бернштейн
- Н.С. Апекиной
- О.А. Жигальскому
- М.Г. Останиной
- А.В. Хворенкову